

第3讲 (第3-6章)

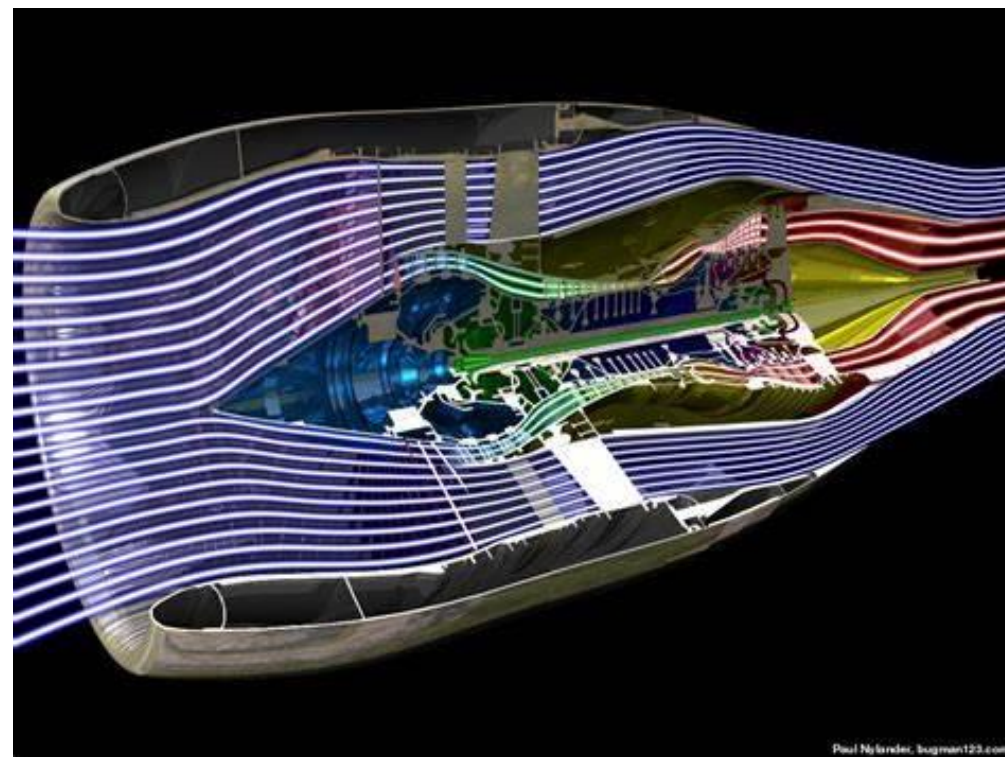
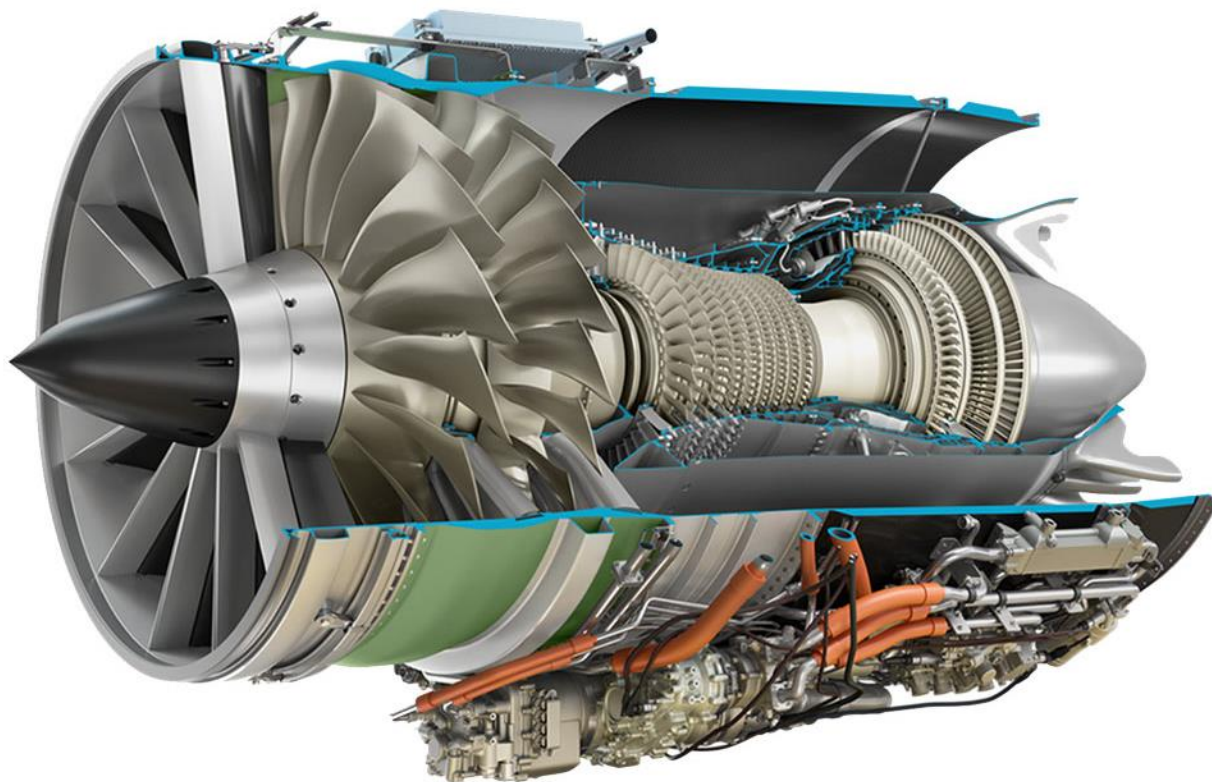
流体分析的基本原理



第3讲 流体（流动）分析的基本原理

1. 运动流体分析
2. 质量守恒 — 控制体法
3. 牛顿第二定律 — 控制体法
4. 能量守恒 — 控制体法

1. 运动流体分析 — 流体运动的复杂性要求相应的分析方法



定律

质量守恒定律

牛顿运动第二定律

热力学第一定律

方程

连续性方程

动量方程

能量方程

其他定律？

拉格朗日描述和欧拉描述

拉格朗日(Lagrange)描述

Lagrangian

质点系法：把流体质点作为研究对象，跟踪每一个质点，描述其运动过程中物理量随时间的变化。

□ 物理量与流体质点直接相关，随时间变化

➤ 流体质点(a,b,c), 该点的物理量 f 的拉格朗日表达式

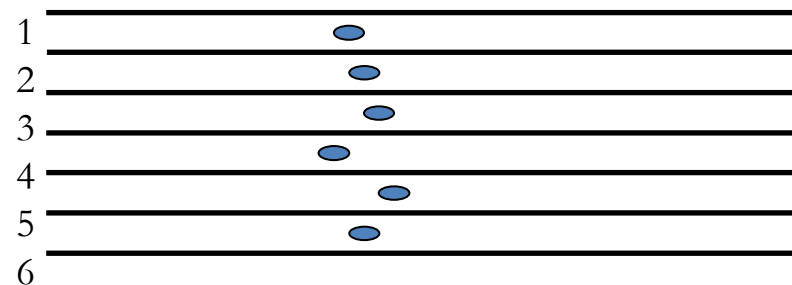
$$f = f(a, b, c; t)$$

位移、速度、加速度、密度、压强、温度等

(a,b,c)称为拉格朗日坐标，不同的(a,b,c)代表不同质点.

□ 物理量的随体变化

百米赛跑

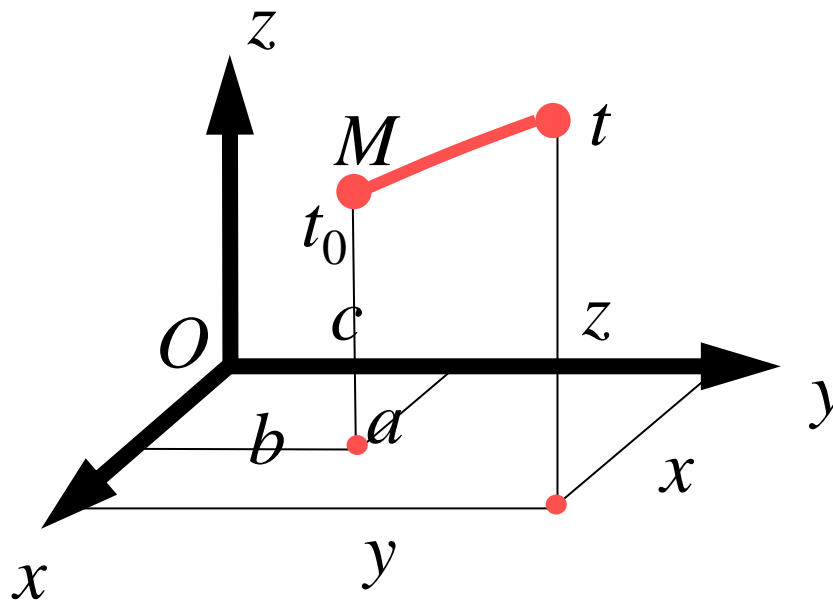


□ 位置矢量-流体质点的运动方程

设某一流体质点 在 $t=t_0$ 时刻占据起始坐标 (a,b,c) , 任意时刻 t , 流体质点运动到空间坐标 (x,y,z)

$$\mathbf{r} = \mathbf{r}(a, b, c, t)$$

$$\begin{cases} x = x(a, b, c, t) \\ y = y(a, b, c, t) \\ z = z(a, b, c, t) \end{cases}$$



初始时刻的位置坐标 (a, b, c)

区分不同流体质点

任意时刻的运动坐标 (x, y, z)

流体质点的位移

(a, b, c, t)

拉格朗日变数

□ 速度、加速度：任意质点、任意时刻的速度和加速度

流体质点的速度

$$\mathbf{V} = u\mathbf{i} + v\mathbf{j} + w\mathbf{k}$$

$$\begin{cases} u = \frac{\partial x}{\partial t} = \frac{\partial x(a, b, c, t)}{\partial t} = u(a, b, c, t) \\ v = \frac{\partial y}{\partial t} = \frac{\partial y(a, b, c, t)}{\partial t} = v(a, b, c, t) \\ w = \frac{\partial z}{\partial t} = \frac{\partial z(a, b, c, t)}{\partial t} = w(a, b, c, t) \end{cases}$$

流体质点的加速度

$$\mathbf{a} = a_x\mathbf{i} + a_y\mathbf{j} + a_z\mathbf{k}$$

$$\begin{cases} a_x = \frac{\partial u}{\partial t} = \frac{\partial^2 x}{\partial t^2} = a_x(a, b, c, t) \\ a_y = \frac{\partial v}{\partial t} = \frac{\partial^2 y}{\partial t^2} = a_y(a, b, c, t) \\ a_z = \frac{\partial w}{\partial t} = \frac{\partial^2 z}{\partial t^2} = a_z(a, b, c, t) \end{cases}$$

问题

$$\begin{cases} x = x(a, b, c, t) \\ y = y(a, b, c, t) \\ z = z(a, b, c, t) \end{cases} \quad (a, b, c) \in \text{limited fluid points}$$

- ① 每个质点运动规律不同，很难跟踪足够多质点
- ② 数学上存在难以克服的困难
- ③ 实用上，不需要知道每个质点的运动情况

因此，该方法在工程上很少采用。

1.2 欧拉(Euler)描述

流场法：考察空间每一点上的物理量及其变化。研究流体质点在通过某一空间点时流动参数随时间的变化规律

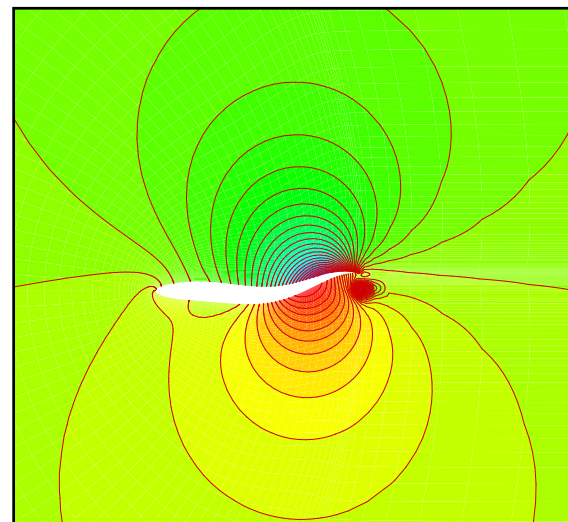
- 物理量在**空间**有一个**分布**，可随**时间**变化
 - 场的概念，着眼于空间的固定点的**物理量** f

$$f = F(x, y, z; t)$$

~~位移~~、速度、加速度、密度、压强、温度等

(x, y, z) 表示空间点的坐标.

- 物理量的空间变化



采用欧拉法，可将流场中任何一个运动要素表示为空间坐标 (x, y, z) 和时间 t 的单值连续函数。

□ 流体质点在任意时刻 t 通过任意空间固定点 (x, y, x) 时的流速

$$\begin{cases} u = u(x, y, z, t) = \frac{dx}{dt} \\ v = v(x, y, z, t) = \frac{dy}{dt} \\ w = w(x, y, z, t) = \frac{dz}{dt} \end{cases}$$

式中， (x, y, z, t) 称为欧拉变数。

□ 加速度：空间坐标和时间的函数

$$\begin{cases} a_x = \frac{du_x(x, y, z, t)}{dt} \\ a_y = \frac{du_y(x, y, z, t)}{dt} \\ a_z = \frac{du_z(x, y, z, t)}{dt} \end{cases}$$

令 (x, y, z) 为常数, t 为变数

表示在某一固定空间点上, 流体质点的运动参数随时间的变化规律。

令 (x, y, z) 为变数, t 为常数

表示在同一时刻, 流场中流动参数的分布规律。
即在空间的分布状况。

□ 其它物理量：空间坐标和时间的函数

$$p = p(x, y, z, t)$$

$$\rho = \rho(x, y, z, t)$$

$$T = T(x, y, z, t)$$

□ 两种运动描述(观点)的对比

Lagrange描述

描述物理量的**随体**变化

着眼于**质点**

有限**质点**

强调**历史**相关(如轨迹)

不适合描述流体微元的运动
变形特征

通常表达式较为复杂,
但此方法很重要

Euler描述

描述物理量的**空间**变化

着眼于**空间点**

场

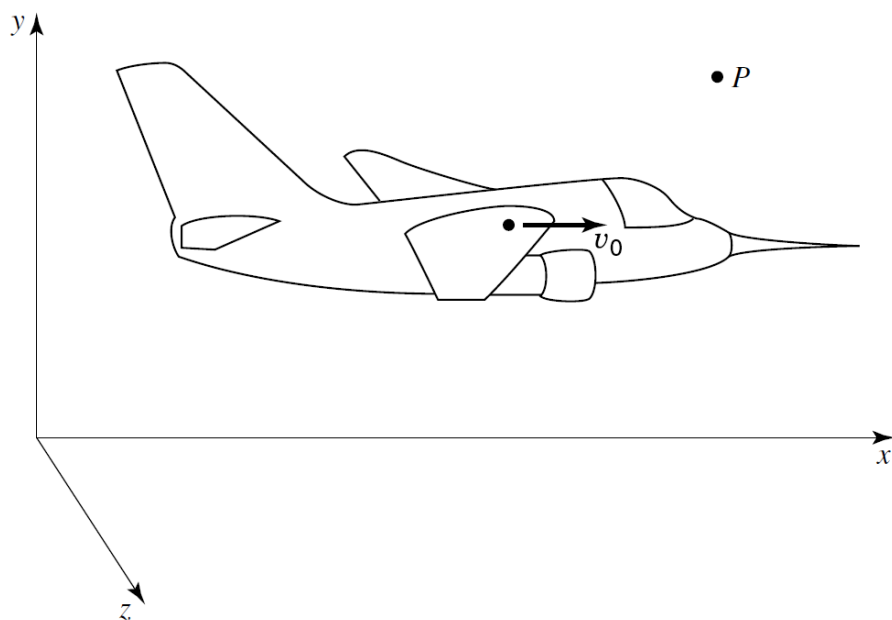
强调**瞬时**的空间相关

适合描述流体微元的运动
变形特征

表达式简单,
在流体力学中常用

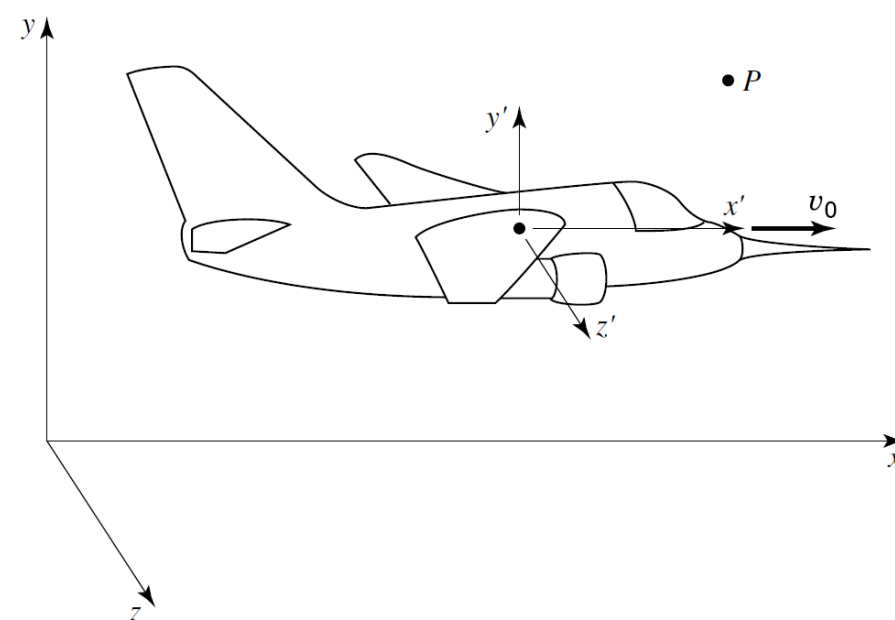
稳态与非稳态流动

欧拉描述下 $f = F(x, y, z; t)$



固定坐标系

稳态、steady、定常

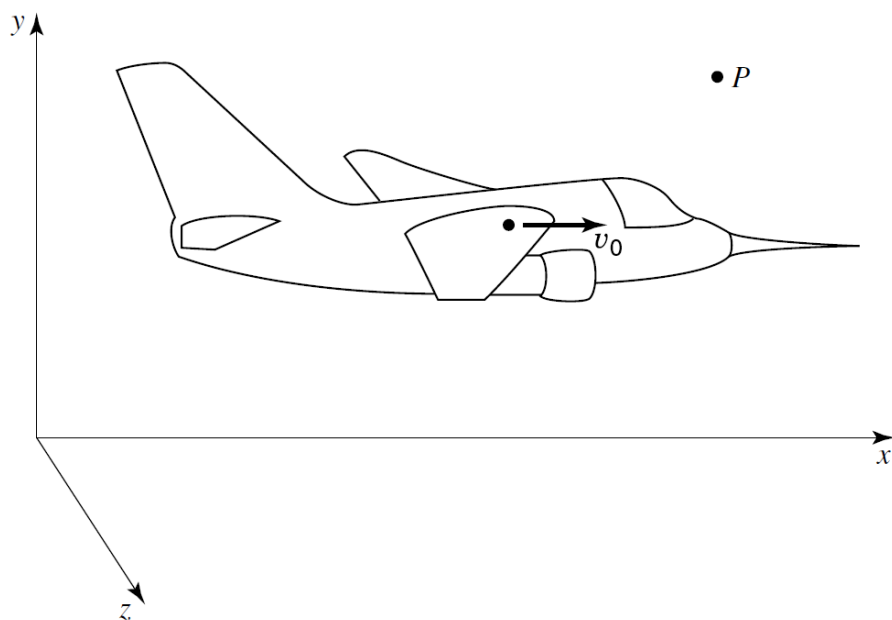


运动坐标系

非稳态、unsteady、非定常

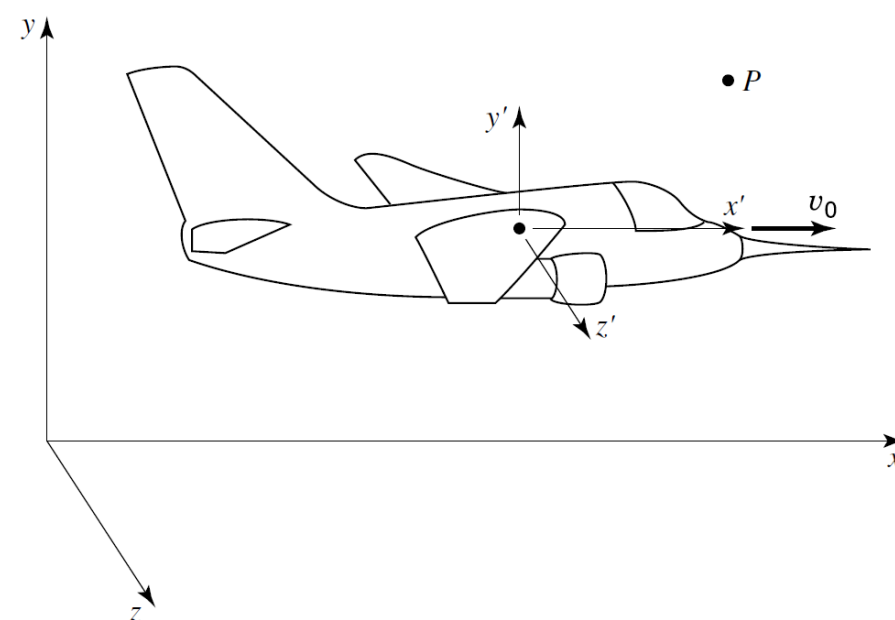
稳态与非稳态流动

欧拉描述下 $f = F(x, y, z; t)$



固定坐标系

稳态、steady、定常



运动坐标系

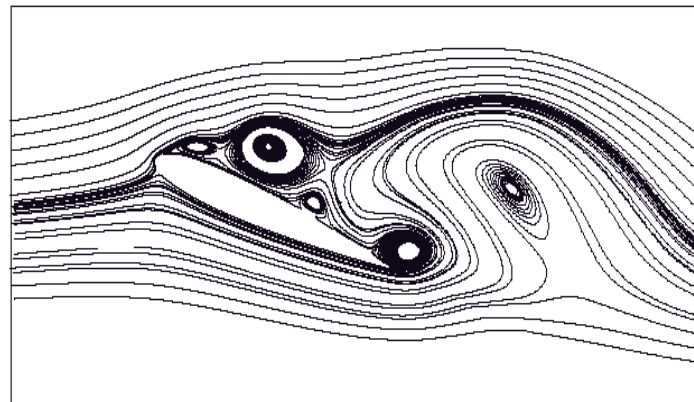
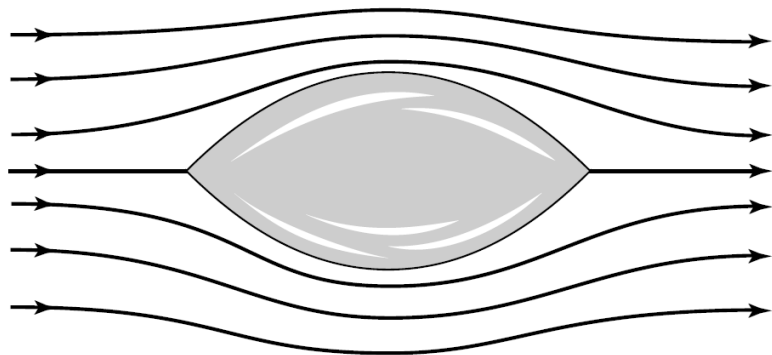
非稳态、unsteady、非定常

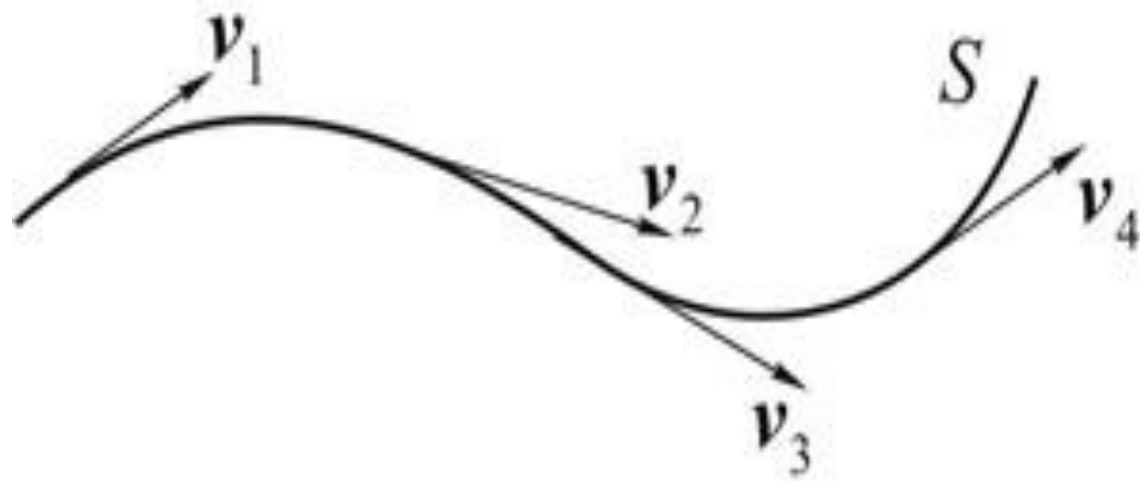
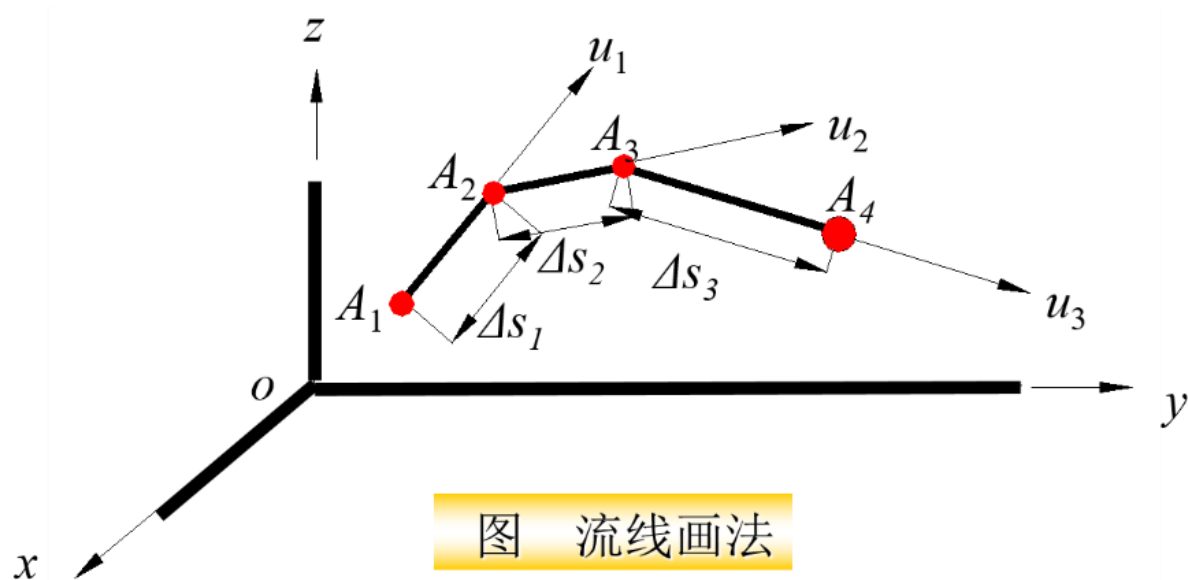


风洞

流线(streamline)

- **流线**是流场中任一时刻的一条几何曲线，其上各点的速度矢量均与此曲线相切。因此，**流线是同一时刻，不同流体质点所组成的曲线。**
由欧拉法引出。





□ 二维情况:

$$\frac{v_y}{v_x} = \frac{dy}{dx}$$

□ 三维情况:

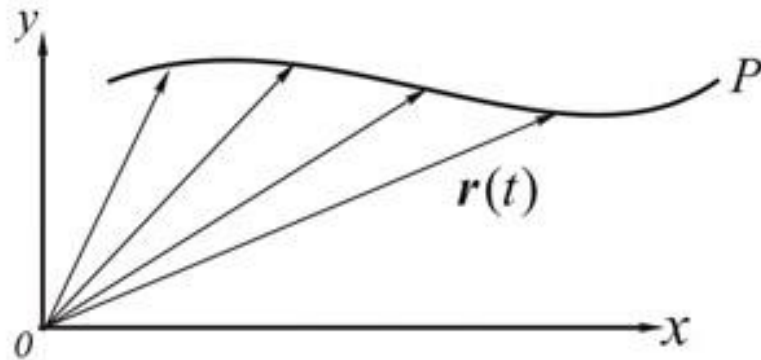
$$\frac{dx}{v_x} = \frac{dy}{v_y} = \frac{dz}{v_z}$$

迹线(path line)

- **迹线**是指同一流体质点不同时刻流经的空间点所连成的线，即流体质点的运动轨迹。 **由拉格朗日法引出的概念**

$$\mathbf{r} = \mathbf{r}(a, b, c, t)$$

一个流体质点的位置： $\mathbf{x}_a = (X(t), Y(t), Z(t))$

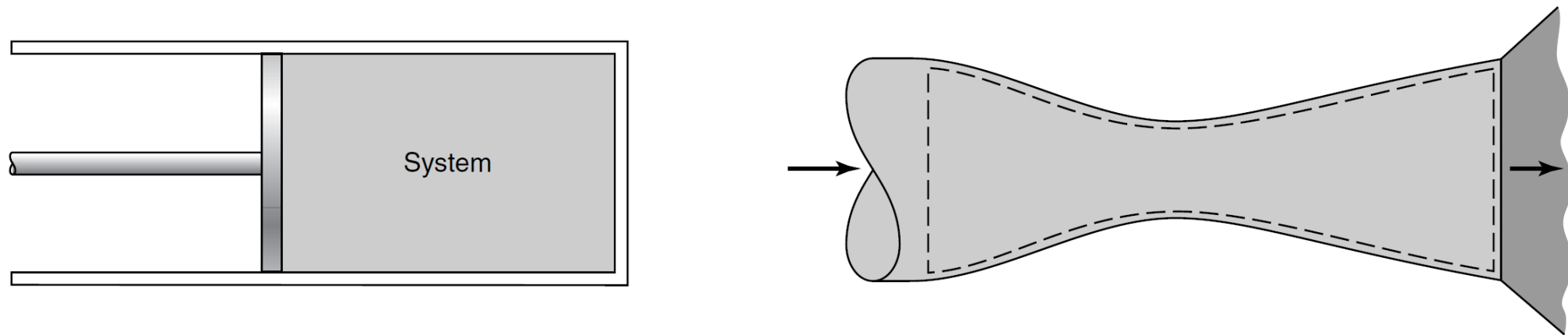


例：已知速度场 $u = x + t$, $v = -y - t$

求：过(1,1)点的流线

解： $\frac{dx}{x+t} = \frac{dy}{-y-t} \Rightarrow (x+t)(y+t) = c_1$

$(1+t)(1+t) = c_1 \quad \longrightarrow \quad (x+t)(y+t) = (1+t)^2$



- 守恒律需要在某一系统 (system) 内才成立
- 多数情况下，难以对变化多端的流动定义一个系统
- 控制体 (control volume) 相对容易定义，适合于变化多端的流动分析
- 控制体可以是有限尺寸，也可以是无限小

几类分析方法的特点

□ 控制体（large-scale）分析

对任何流动情况都是“准确”的，在边界上的平均或者“一维”物理量，适合工程应用
Bernoulli, Prandtl

□ 微分（differential, small-scale）分析

适用于任何流动，但多数情况没有精确的解析解，可用数值模拟（CFD，计算流体力学）
Euler, d'Alembert

□ 实验或者量纲（experimental or dimensional）分析

适用于理论、数值、实验，能降低实验费用
Rayleigh, Buckingham

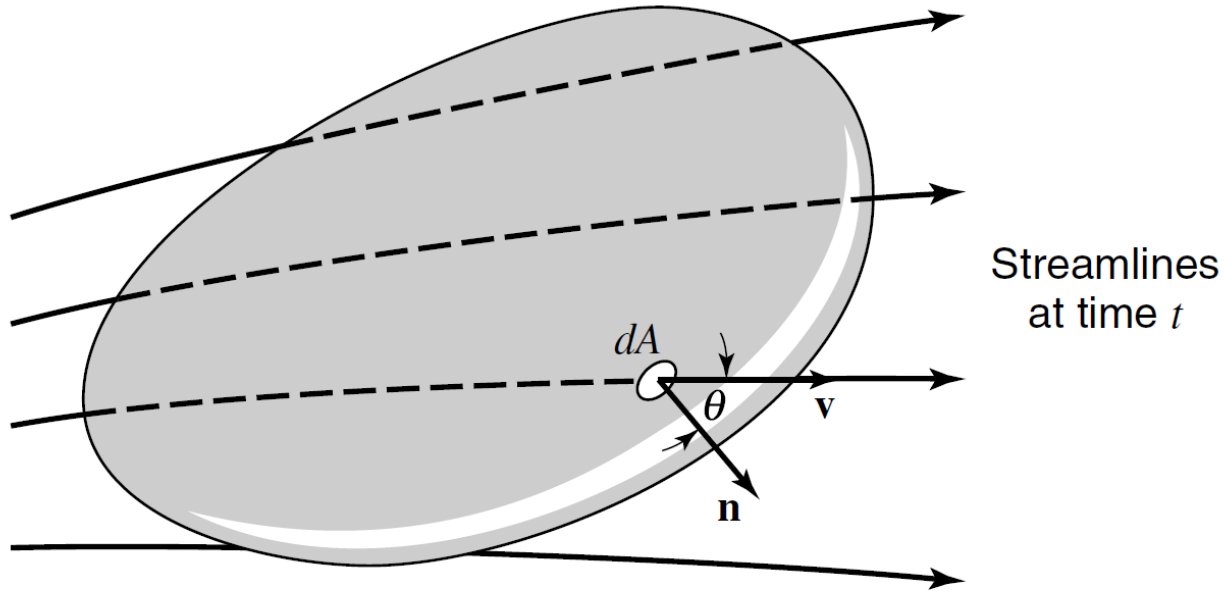
2. 质量守恒

物质既不能生成也不能消失：

$$\left\{ \begin{array}{c} \text{控制体的} \\ \text{质量流出率} \\ \text{(rate of mass efflux)} \end{array} \right\} - \left\{ \begin{array}{c} \text{控制体的} \\ \text{质量流入率} \\ \text{(rate of mass inflow)} \end{array} \right\} + \left\{ \begin{array}{c} \text{控制体的} \\ \text{质量增长率} \\ \text{(rate of accumulation of mass)} \end{array} \right\} = 0$$

直观思考一下各项的具体作用

$$\left\{ \begin{array}{c} \text{控制体的} \\ \text{质量增长率} \\ \text{(rate of accumulation of mass)} \end{array} \right\} = \left\{ \begin{array}{c} \text{控制体的} \\ \text{质量流入率} \\ \text{(rate of mass inflow)} \end{array} \right\} - \left\{ \begin{array}{c} \text{控制体的} \\ \text{质量流出率} \\ \text{(rate of mass efflux)} \end{array} \right\}$$



$$\rho v dA \cos \theta = \rho dA |\mathbf{v}| |\mathbf{n}| \cos \theta$$

$$= \rho (\mathbf{v} \cdot \mathbf{n}) dA$$

ρv 质量通量 (mass flux),
或者质量速率 (mass velocity), 用 G 表示

$$\iint_{\text{c.s.}} \rho (\mathbf{v} \cdot \mathbf{n}) dA + \frac{\partial}{\partial t} \iiint_{\text{c.v.}} \rho dV = 0$$

两种特殊情形

$$\iint_{\text{c.s.}} \rho(\mathbf{v} \cdot \mathbf{n}) dA + \frac{\partial}{\partial t} \iiint_{\text{c.v.}} \rho dV = 0$$

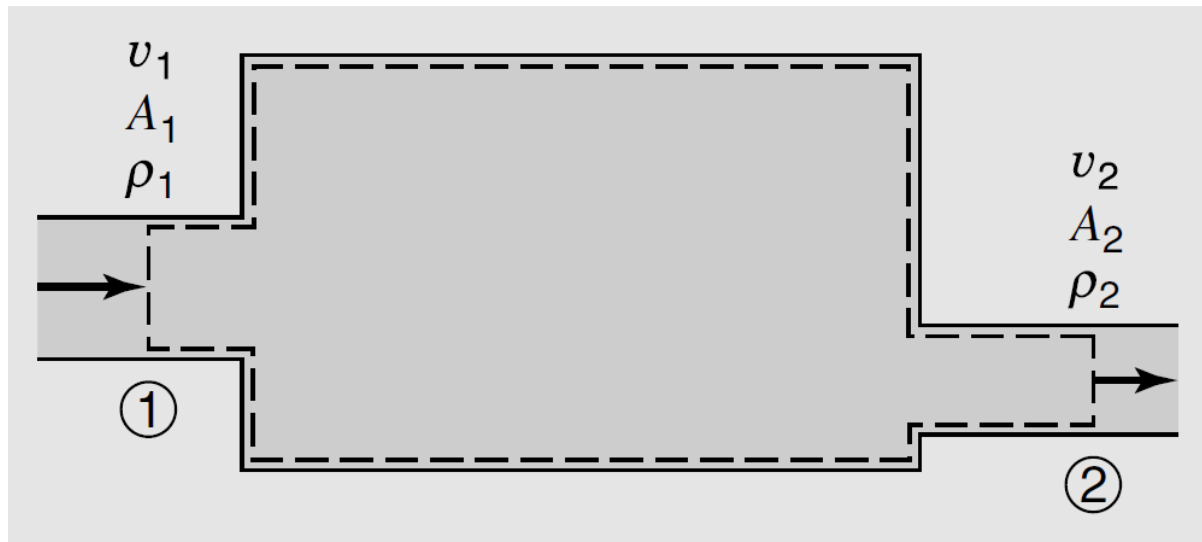
稳态流动

$$\iint_{\text{c.s.}} \rho(\mathbf{v} \cdot \mathbf{n}) dA = 0$$

不可压缩流动

$$\iint_{\text{c.s.}} (\mathbf{v} \cdot \mathbf{n}) dA = 0$$

例子1



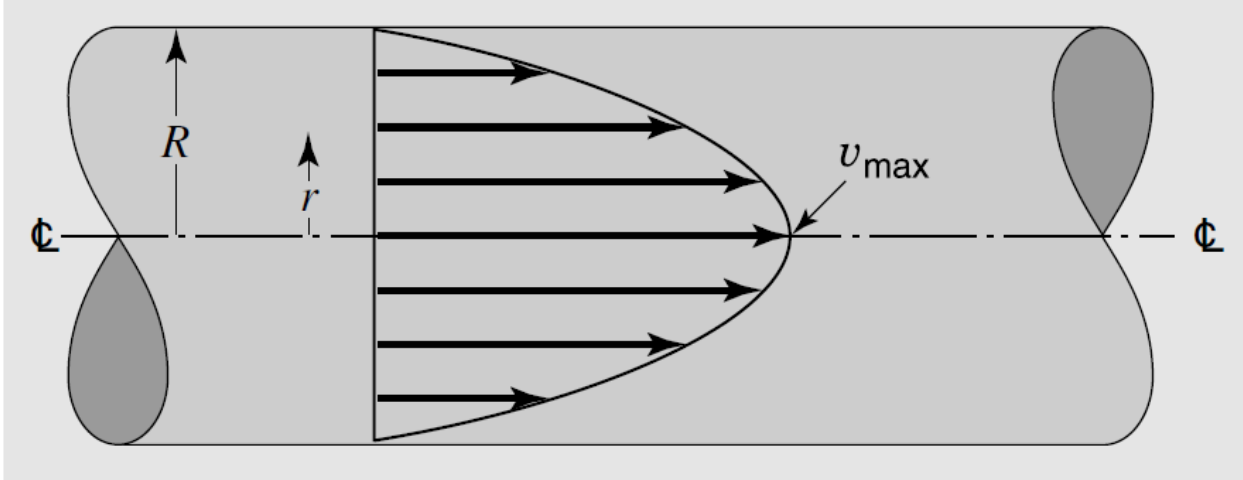
$$\iint_{\text{c.s.}} \rho(\mathbf{v} \cdot \mathbf{n}) dA = \iint_{A_1} \rho(\mathbf{v} \cdot \mathbf{n}) dA + \iint_{A_2} \rho(\mathbf{v} \cdot \mathbf{n}) dA = 0$$

$$\iint_{\text{c.s.}} \rho(\mathbf{v} \cdot \mathbf{n}) dA = - \iint_{A_1} \rho v dA + \iint_{A_2} \rho v dA = 0$$

$$\underline{\rho_1 v_1 A_1 = \rho_2 v_2 A_2}$$

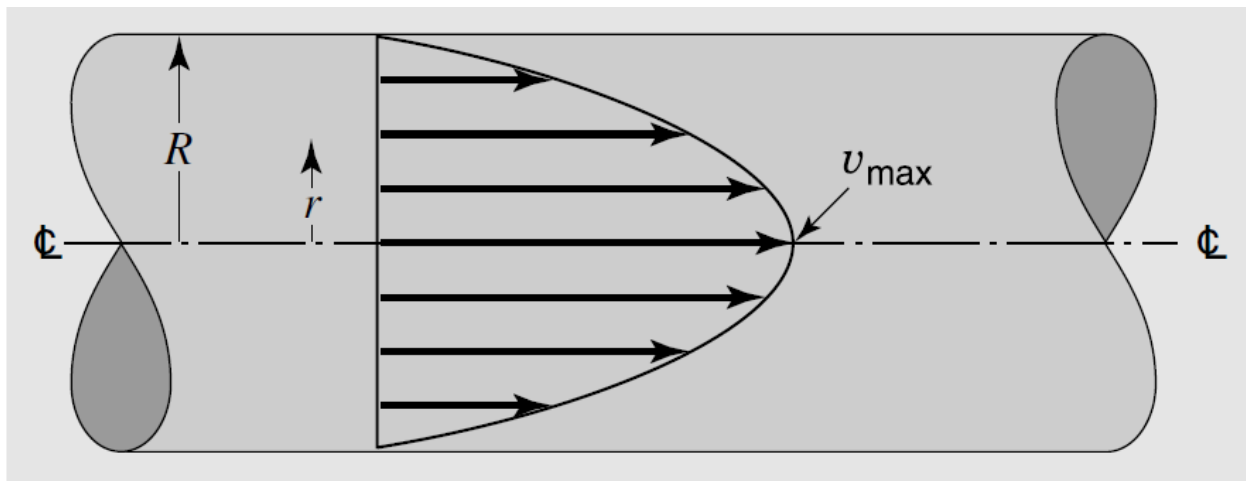
注意速度与控制面的法线方向！

例子2



$$v = v_{\max} \left[1 - \left(\frac{r}{R} \right)^2 \right]$$

例子2

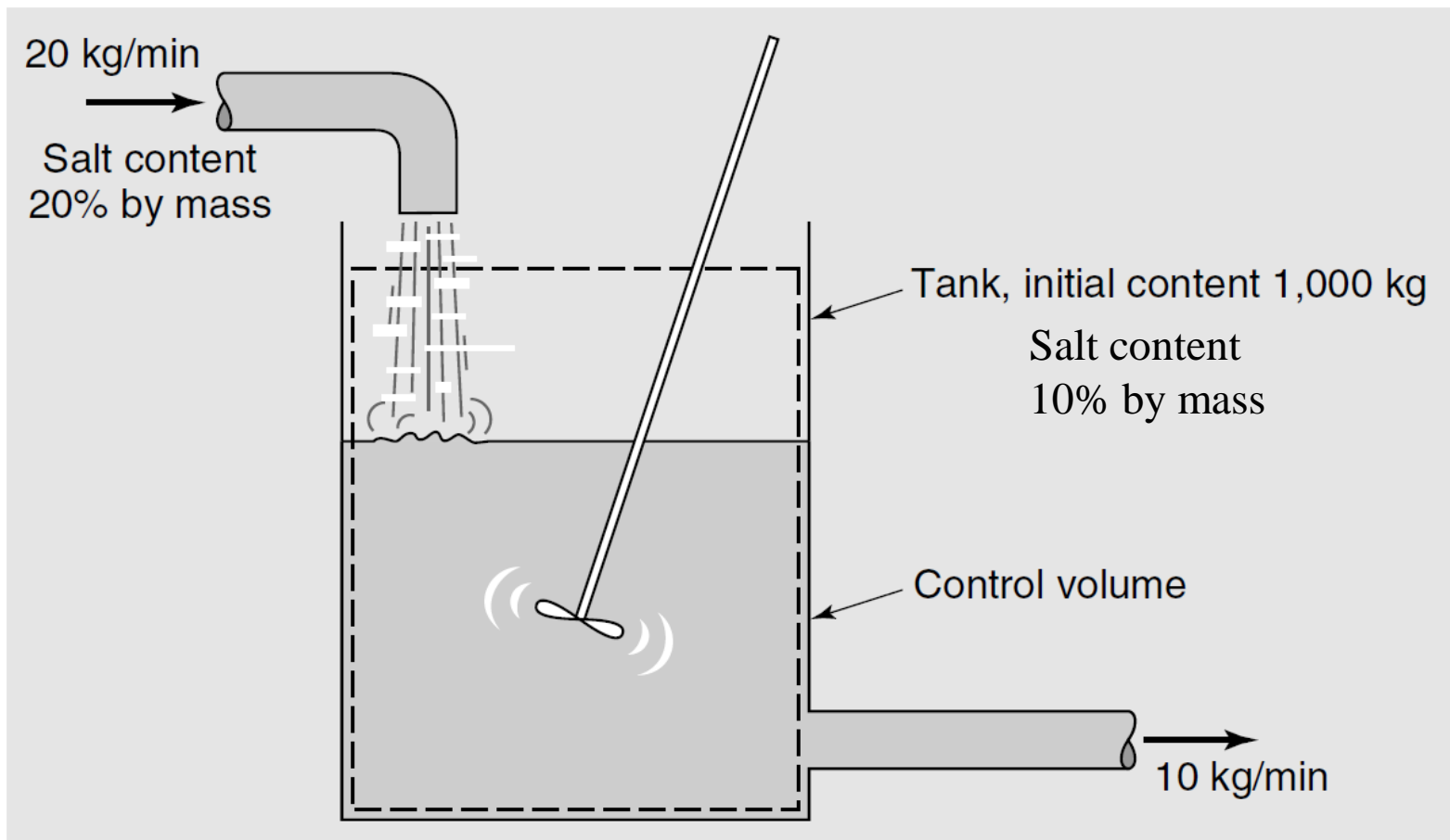


$$v = v_{\max} \left[1 - \left(\frac{r}{R} \right)^2 \right]$$

$$(\rho v)_{\text{avg}} A = \iint_A \rho v \, dA$$

$$v_{\text{avg}} = \frac{1}{A} \iint_A v \, dA = \frac{1}{\pi R^2} \int_0^{2\pi} \int_0^R v_{\max} \left[1 - \left(\frac{r}{R} \right)^2 \right] r \, dr \, d\theta = \underline{\underline{\frac{v_{\max}}{2}}}$$

例子3



1. 盐水随时间的变化规律

2. 多长时间罐子的盐质量达到200 kg?

盐水质量的变化

盐水流入流出变化率 $\iint_{\text{c.s.}} \rho(\mathbf{v} \cdot \mathbf{n}) dA = 10 - 20 = -10 \text{ kg/min}$

控制体盐水质量 M 的变化率 $\frac{\partial}{\partial t} \iiint_{\text{c.v.}} \rho dV = \frac{d}{dt} \int_{1000}^M dM = \frac{d}{dt} (M - 1000)$

盐水质量守恒关系 $\iint_{\text{c.s.}} \rho(\mathbf{v} \cdot \mathbf{n}) dA + \frac{\partial}{\partial t} \iiint_{\text{c.v.}} \rho dV = -10 + \frac{d}{dt} (M - 1000) = 0$

积分，可得盐水随时间 t 变化的表达式 $M = 1000 + 10t \quad (\text{kg})$

盐质量的变化



To solve the linear equation $y' + P(x)y = Q(x)$, multiply both sides by the integrating factor $v(x) = e^{\int P(x) dx}$ and integrate both sides.

令盐的质量为 s ，则其浓度表达为 $\frac{S}{M} = \frac{S}{1000 + 10t}$

盐流入流出变化率 $\iint_{\text{c.s.}} \rho(\mathbf{v} \cdot \mathbf{n}) dA = \frac{10S}{1000 + 10t} - (0.2)(20)$

控制体盐质量 S 的变化率 $\frac{\partial}{\partial t} \iiint_{\text{c.v.}} \rho dV = \frac{d}{dt} \int_{S_0}^S dS = \frac{dS}{dt}$

盐质量守恒关系 $\iint_{\text{c.s.}} \rho(\mathbf{v} \cdot \mathbf{n}) dA + \frac{\partial}{\partial t} \iiint_{\text{c.v.}} \rho dV = \frac{S}{100 + t} - 4 + \frac{dS}{dt} = 0$

或者 $\frac{dS}{dt} + \frac{S}{100 + t} = 4$ 一阶线性微分方程

得通解 $S = \frac{2t(200 + t)}{100 + t} + \frac{C}{100 + t}$ 根据 $t=0, S=100$, 确定出 $C=10000$

最终，盐质量随时间 t 变化的表达式 $S = \frac{10,000 + 400t + 2t^2}{100 + t}$ $S = 200 \text{ kg}$, 有 $t = 36.6 \text{ min}$

3. 牛顿第二定律

$$\Sigma \mathbf{F} = \frac{d}{dt}(m\mathbf{v}) = \frac{d}{dt}\mathbf{P} \quad \text{合力的大小和方向}$$

$$\left\{ \begin{array}{l} \text{作用在控制体} \\ \text{的合力} \end{array} \right\} = \left\{ \begin{array}{l} \text{流出控制体的} \\ \text{动量变化率} \end{array} \right\} - \left\{ \begin{array}{l} \text{流入控制体的} \\ \text{动量变化率} \end{array} \right\} + \left\{ \begin{array}{l} \text{控制体的} \\ \text{动量增长率} \end{array} \right\}$$

控制体的动量平衡方程，
或者动量定理
(momentum theorem)

$$\Sigma \mathbf{F} = \iint_{\text{c.s.}} \mathbf{v} \rho (\mathbf{v} \cdot \mathbf{n}) dA + \frac{\partial}{\partial t} \iiint_{\text{c.v.}} \rho \mathbf{v} dV$$

$$\Sigma F_x = \iint_{\text{c.s.}} v_x \rho (\mathbf{v} \cdot \mathbf{n}) dA + \frac{\partial}{\partial t} \iiint_{\text{c.v.}} \rho v_x dV$$

$$\Sigma F_y = \iint_{\text{c.s.}} v_y \rho (\mathbf{v} \cdot \mathbf{n}) dA + \frac{\partial}{\partial t} \iiint_{\text{c.v.}} \rho v_y dV$$

$$\Sigma F_z = \iint_{\text{c.s.}} v_z \rho (\mathbf{v} \cdot \mathbf{n}) dA + \frac{\partial}{\partial t} \iiint_{\text{c.v.}} \rho v_z dV$$

三个方向上的分量

注意中文翻译的错误

$$\left\{ \begin{array}{l} \text{作用在控} \\ \text{制体上的} \\ \text{合力} \end{array} \right\} = \left\{ \begin{array}{l} \text{流出控制} \\ \text{体的动量} \\ \text{通量} \end{array} \right\} - \left\{ \begin{array}{l} \text{流入控制} \\ \text{体的动量} \\ \text{通量} \end{array} \right\} + \left\{ \begin{array}{l} \text{在控制体} \\ \text{内积聚的} \\ \text{动量通量} \end{array} \right\} \quad \text{X}$$

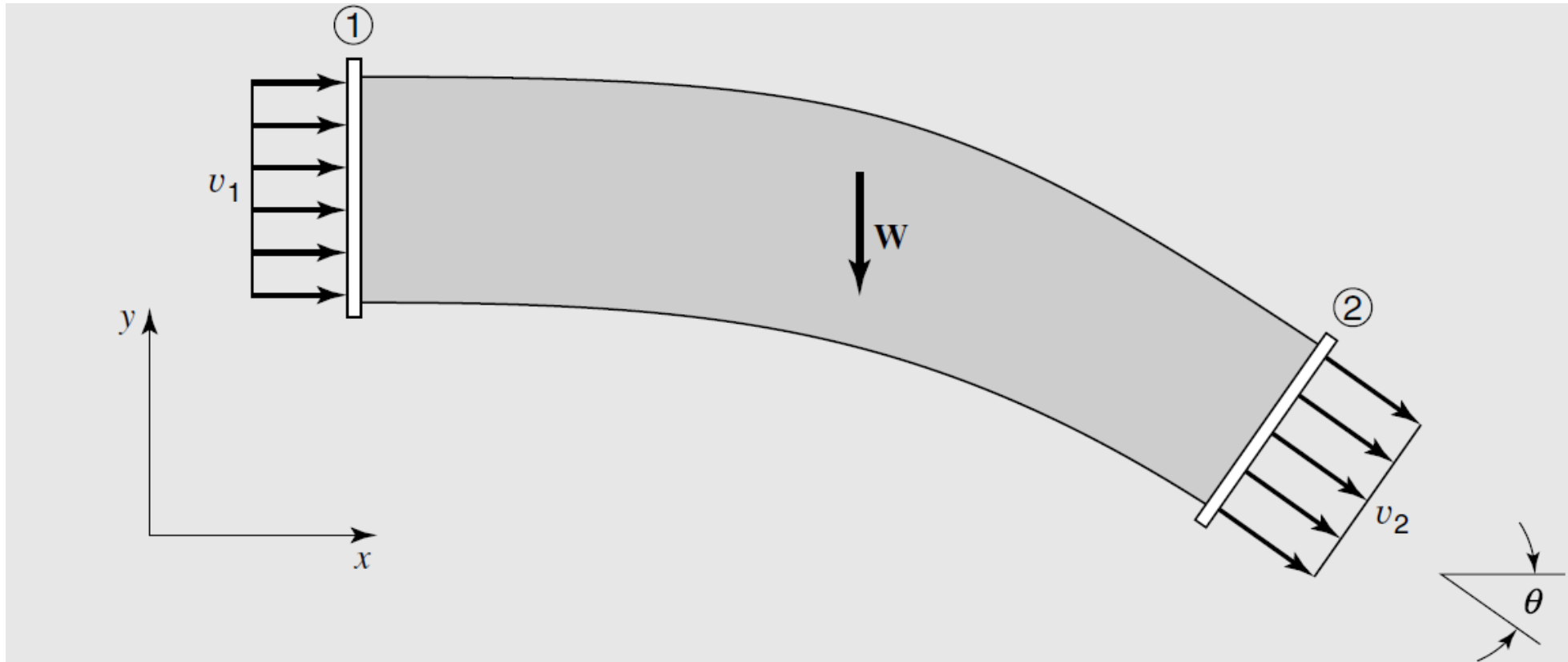
从控制体内流出的净动量通量

$$\left\{ \begin{array}{l} \text{sum of} \\ \text{forces acting} \\ \text{on control} \\ \text{volume} \end{array} \right\} = \left\{ \begin{array}{l} \text{rate of} \\ \text{momentum} \\ \text{out of control} \\ \text{volume} \end{array} \right\} - \left\{ \begin{array}{l} \text{rate of} \\ \text{momentum} \\ \text{into control} \\ \text{volume} \end{array} \right\} + \left\{ \begin{array}{l} \text{rate of} \\ \text{accumulation} \\ \text{of momentum} \\ \text{within control} \\ \text{volume} \end{array} \right\}$$

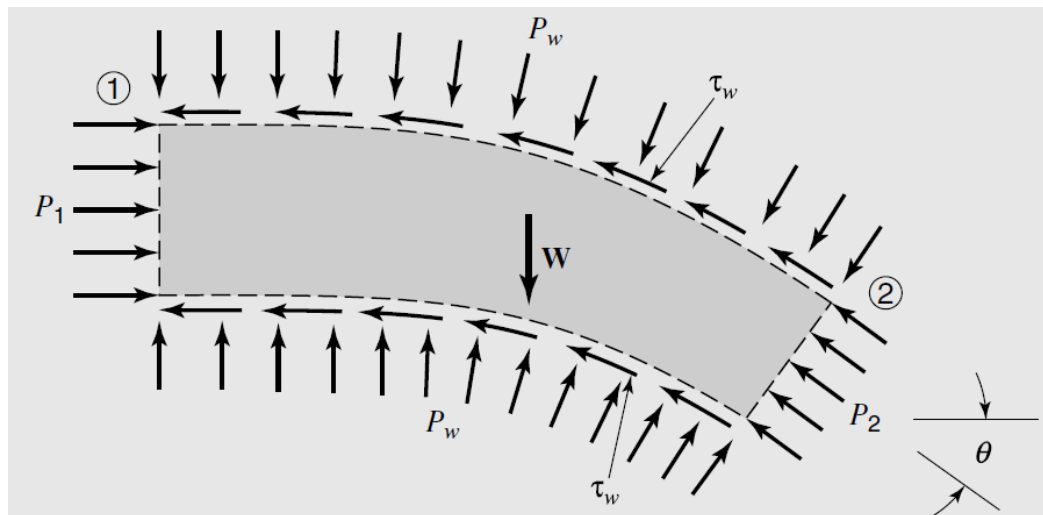
net rate of momentum efflux from
control volume

$$\left\{ \begin{array}{l} \text{作用在控制体} \\ \text{的合力} \end{array} \right\} = \left\{ \begin{array}{l} \text{流出控制体的} \\ \text{动量变化率} \end{array} \right\} - \left\{ \begin{array}{l} \text{流入控制体的} \\ \text{动量变化率} \end{array} \right\} + \left\{ \begin{array}{l} \text{控制体的} \\ \text{动量增长率} \end{array} \right\}$$

例4：流体对弯管的作用力



如何选取控制体？

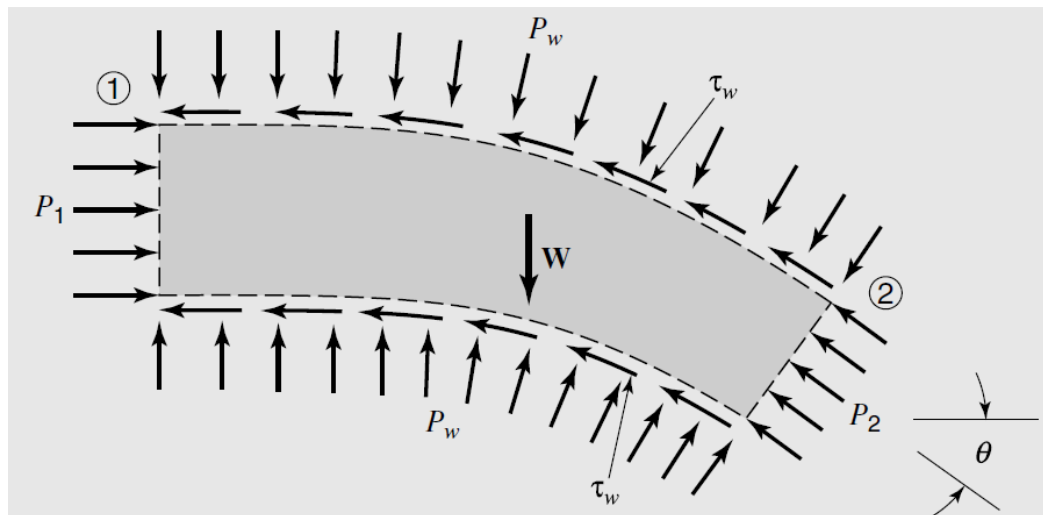


1. 设弯管对流体的所有作用力合力为 B

2. 对控制体进行表面积分，有

3. x和y方向上的动量平衡关系为

4. 整理得到流体受弯管的作用力为



1. 设弯管对流体的所有作用力合力为 B

$$\sum F_x = P_1 A_1 - P_2 A_2 \cos \theta + B_x$$

$$\sum F_y = P_2 A_2 \sin \theta - W + B_y$$

2. 对控制体进行表面积分，有

$$\iint_{\text{c.s.}} v_x \rho (\mathbf{v} \cdot \mathbf{n}) dA = (v_2 \cos \theta) (\rho_2 v_2 A_2) + (v_1) (-\rho_1 v_1 A_1)$$

$$\iint_{\text{c.s.}} v_y \rho (\mathbf{v} \cdot \mathbf{n}) dA = (-v_2 \sin \theta) (\rho_2 v_2 A_2)$$

3. x和y方向上的动量平衡关系为

$$B_x + P_1 A_1 - P_2 A_2 \cos \theta = (v_2 \cos \theta) (\rho_2 v_2 A_2) + v_1 (-\rho_1 v_1 A_1)$$

$$B_y + P_2 A_2 \sin \theta - W = (-v_2 \sin \theta) (\rho_2 v_2 A_2)$$

4. 整理得到流体受弯管的作用力为

$$B_x = v_2^2 \rho_2 A_2 \cos \theta - v_1^2 \rho_1 A_1 - P_1 A_1 + P_2 A_2 \cos \theta$$

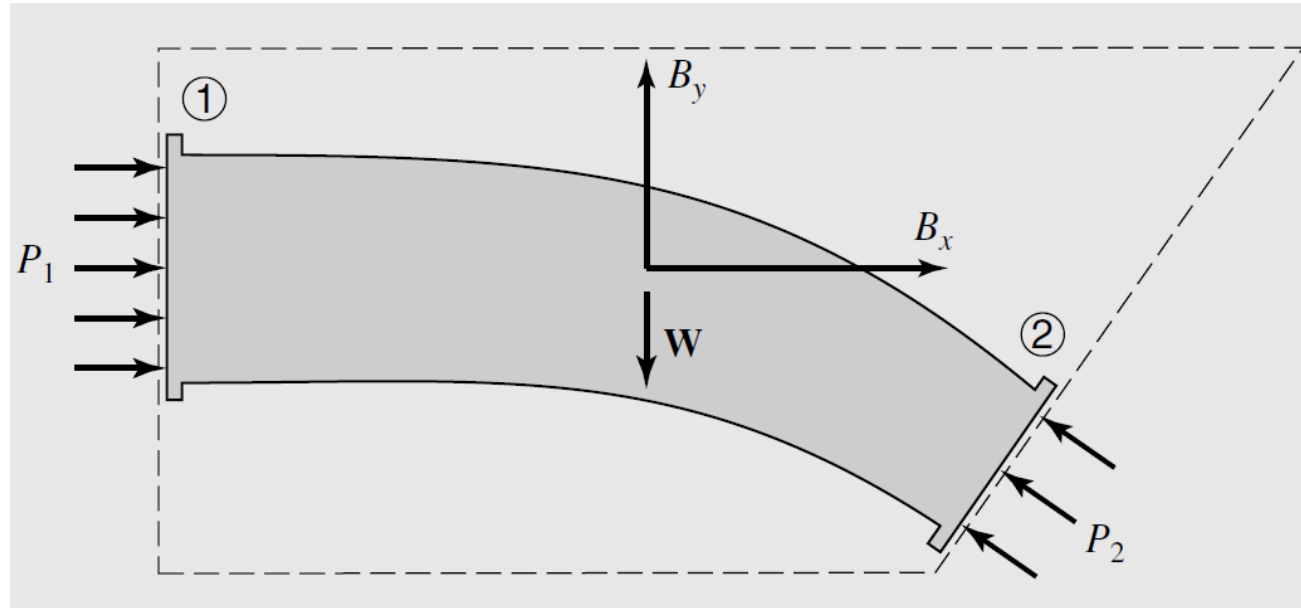
$$B_y = -v_2^2 \rho_2 A_2 \sin \theta - P_2 A_2 \sin \theta + W$$

流体施加到弯管的作用力
大小相等，方向相反

稳态流动，可进一步简化

$$\rho_1 v_1 A_1 = \rho_2 v_2 A_2 = \dot{m}$$

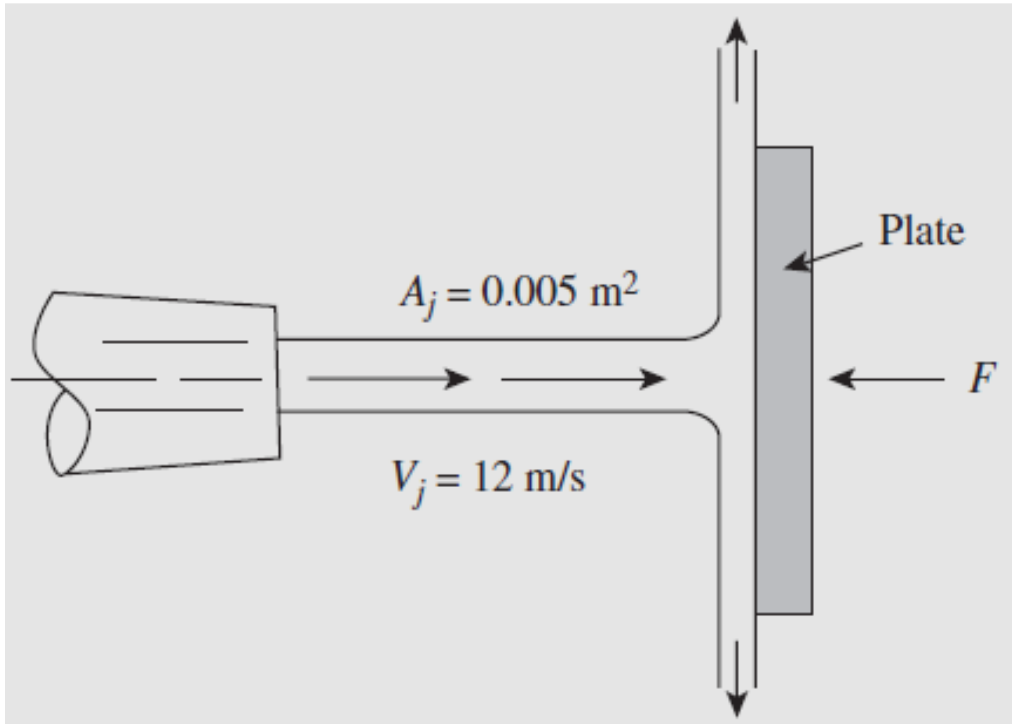
控制体的另一种选取方法



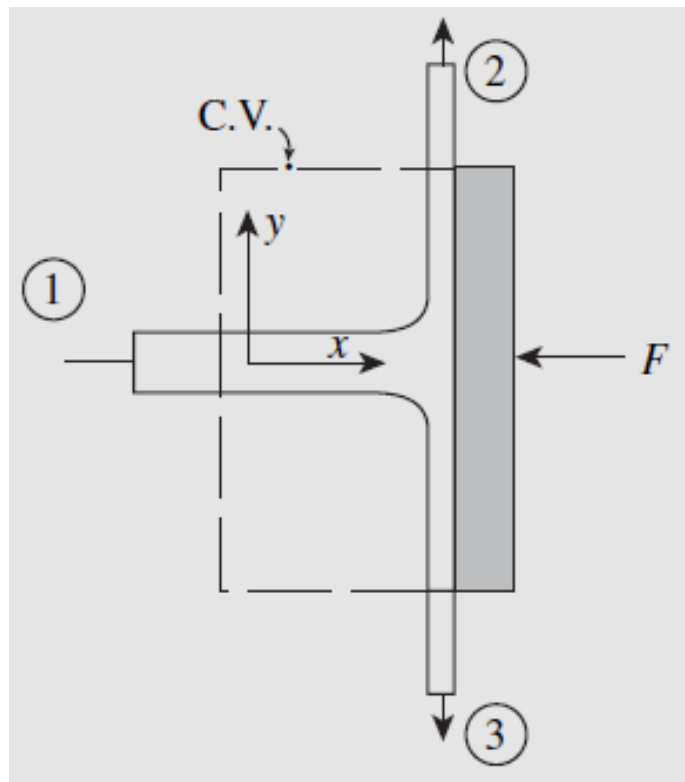
$$B_x + P_1 A_1 - P_2 A_2 \cos \theta = (v_2 \cos \theta)(\rho_2 v_2 A_2) + v_1 (-v_1 \rho_1 A_1)$$

$$B_y + P_2 A_2 \sin \theta - W = (-v_2 \sin \theta)(\rho_2 v_2 A_2)$$

例5：射流冲击挡板受力分析



- (a) Determine the force required to hold the plate stationary if the jet is composed of
 - i. water
 - ii. air.
- (b) Determine the magnitude of the restraining force for a water jet when the plate is moving to the right with a uniform velocity of 4 m/s.



$$\Sigma F_x = \iint_{\text{c.s.}} v_x \rho (\mathbf{v} \cdot \mathbf{n}) dA + \frac{\partial}{\partial t} \iiint_{\text{c.v.}} v_x \rho dv$$

$$\Sigma F_x = -F$$

各项

$$\iint_{\text{c.s.}} v_x \rho (\mathbf{v} \cdot \mathbf{n}) dA = v_j \rho (-v_j A_j)$$

$$\frac{\partial}{\partial t} \iiint_{\text{c.v.}} v_x \rho dv = 0$$

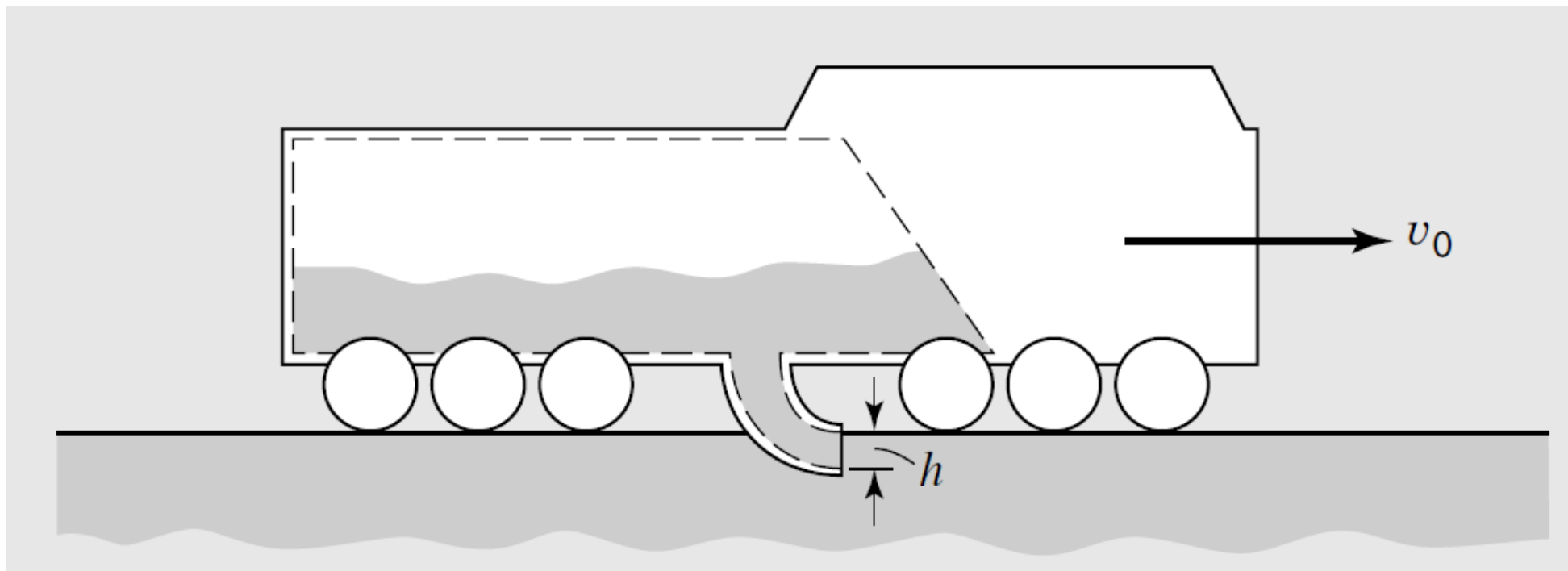
$$\longrightarrow F = \rho A_j v_j^2$$

水: $F = 720 \text{ N}$

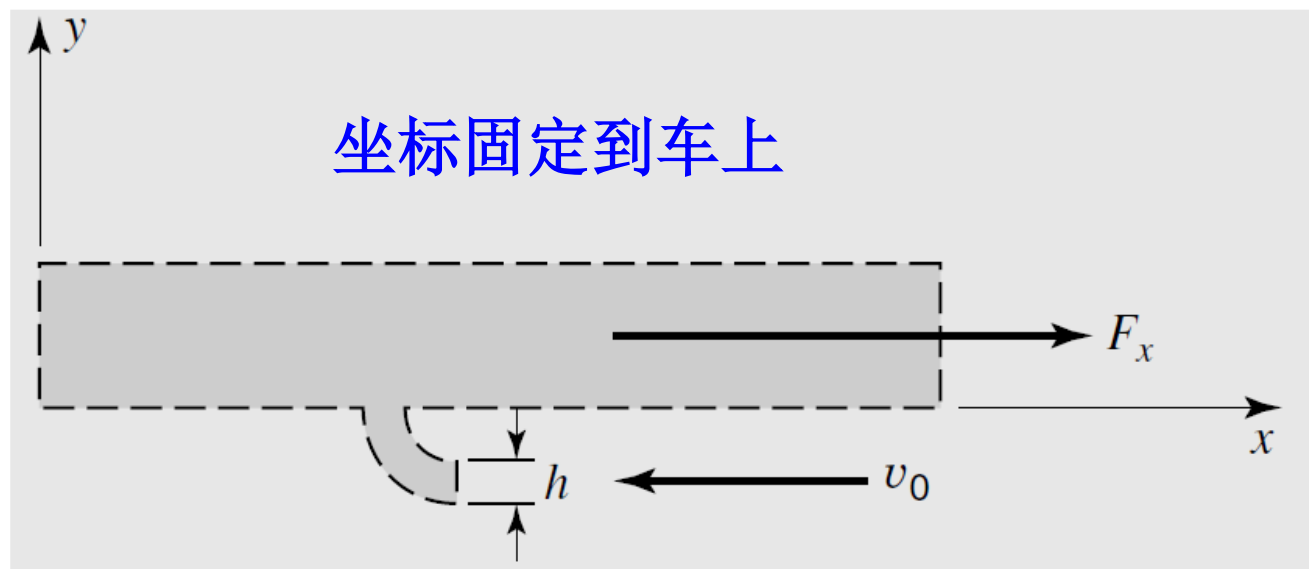
空气: $F = 0.868 \text{ N}$

挡板以 v_0 向右移动, 则 $F = \rho A_j (v_j - v_0)^2$

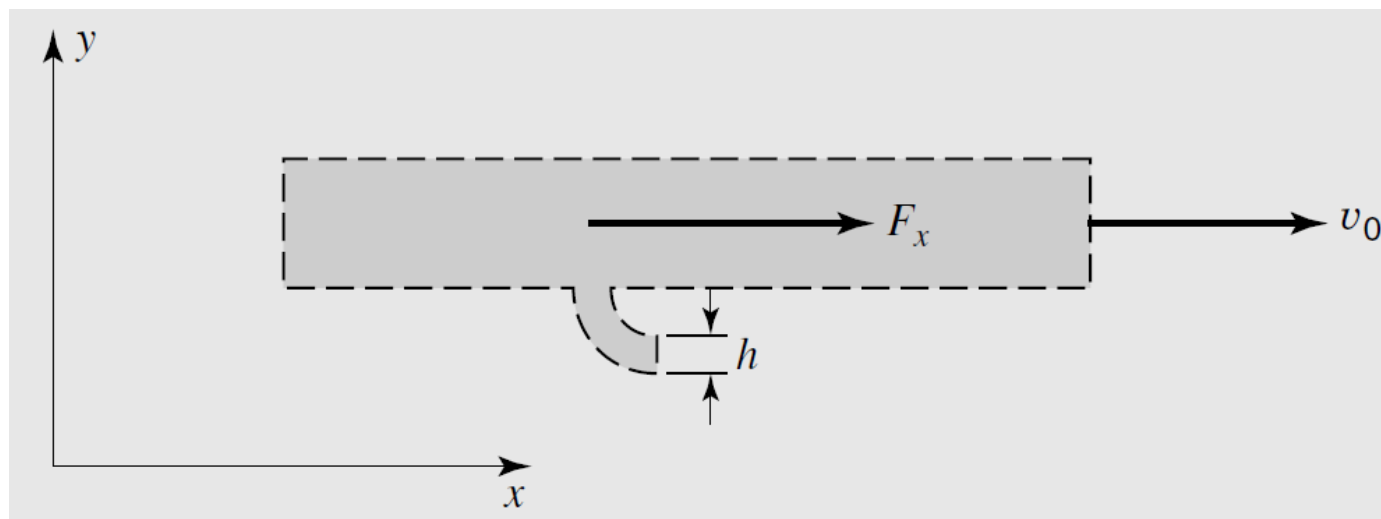
例6：蒸汽煤水车的受力（教材35页例2）

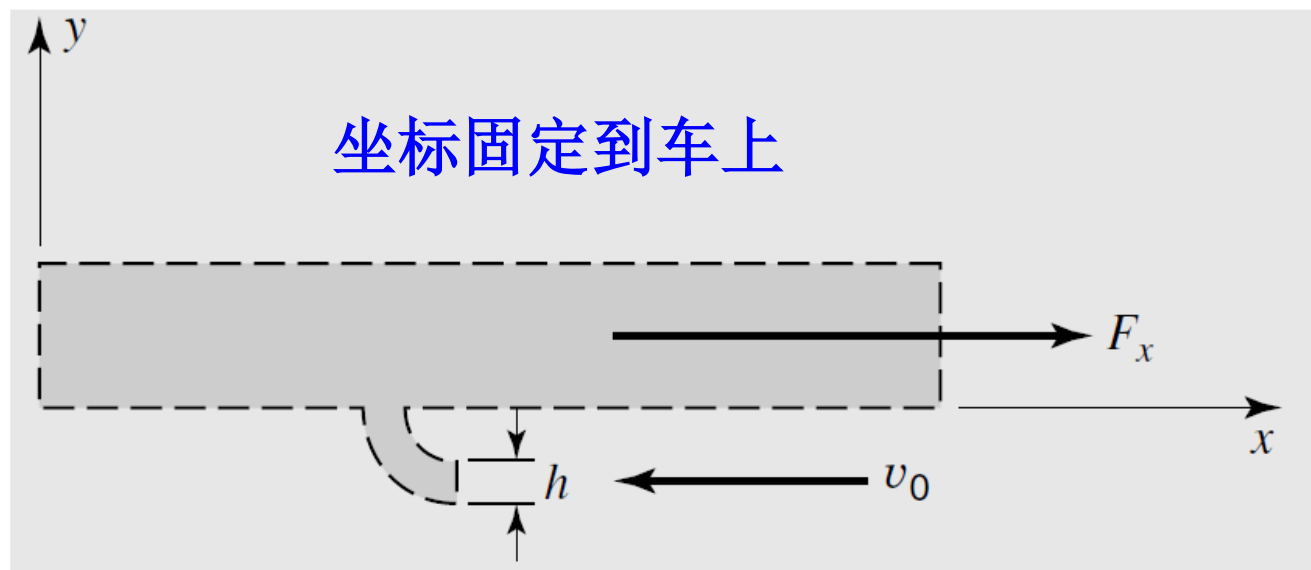


坐标如何选取？



固定坐标





动量平衡

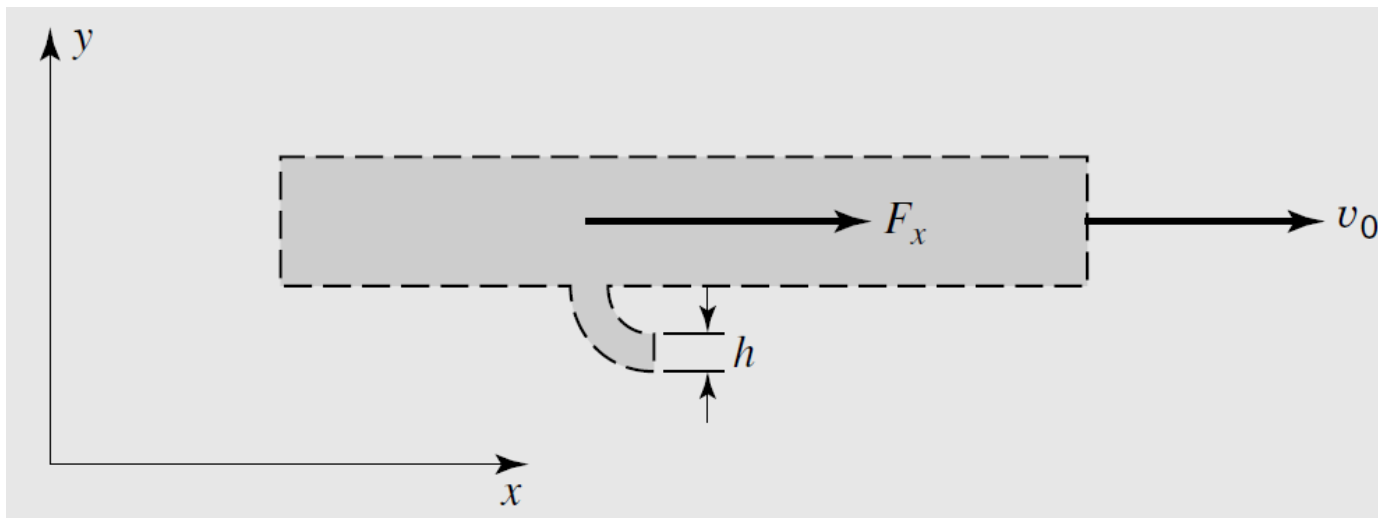
$$\Sigma F_x = \iint_{\text{c.s.}} v_x \rho (\mathbf{v} \cdot \mathbf{n}) dA + \frac{\partial}{\partial t} \iiint_{\text{c.v.}} v_x \rho dV$$

$$\iint_{\text{c.s.}} v_x \rho (\mathbf{v} \cdot \mathbf{n}) dA = \rho (-v_0) (-1) (v_0) (h) \quad \frac{\partial}{\partial t} \iiint_{\text{c.v.}} v_x \rho dV = 0$$

得 $F_x = \rho v_0^2 h$

机车受力 大小相等，方向相反

固定坐标



动量平衡

$$\Sigma F_x = \iint_{\text{c.s.}} v_x \rho (\mathbf{v} \cdot \mathbf{n}) dA + \frac{\partial}{\partial t} \iiint_{\text{c.v.}} v_x \rho dV$$

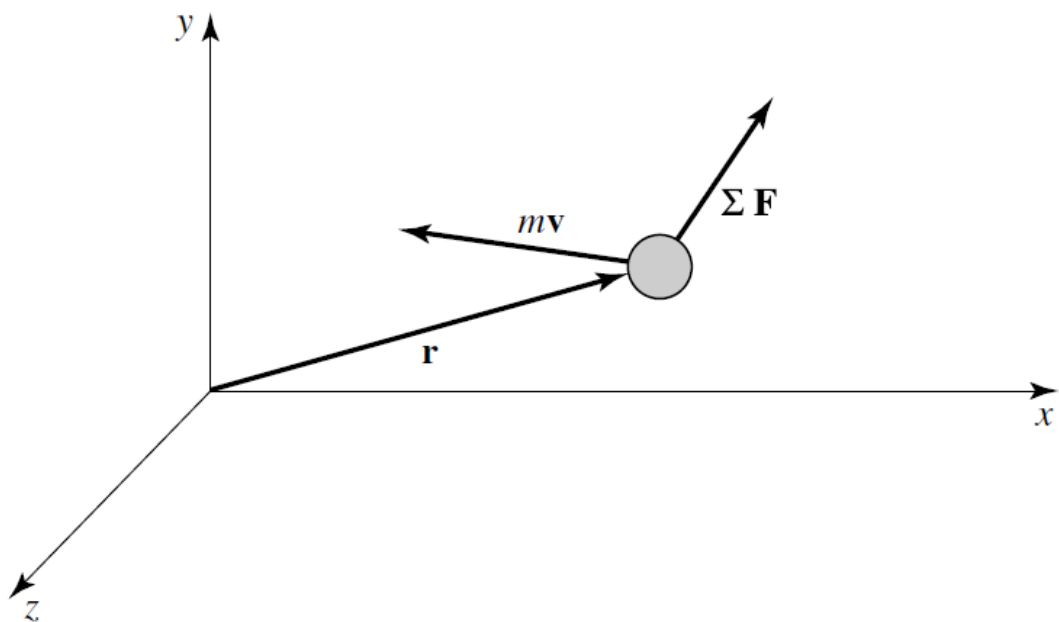
$$\iint_{\text{c.s.}} v_x \rho (\mathbf{v} \cdot \mathbf{n}) dA = 0$$

$$\frac{\partial}{\partial t} \iiint_{\text{c.v.}} v_x \rho dV = \rho v_0 h v_0$$

控制体内质量增加来自于下部入口的流入流体

同样得到 $F_x = \rho v_0^2 h$

动量矩的积分关系式：线动量的拓展



对 $\Sigma \mathbf{F} = \frac{d}{dt}(m\mathbf{v}) = \frac{d}{dt} \mathbf{P}$ 两边叉乘

$$\mathbf{r} \times \Sigma \mathbf{F} = \mathbf{r} \times \frac{d}{dt}(m\mathbf{v}) = \mathbf{r} \times \frac{d}{dt} \mathbf{P}$$

左端

$$\mathbf{r} \times \Sigma \mathbf{F} = \Sigma \mathbf{r} \times \mathbf{F} = \Sigma \mathbf{M}$$

右端

$$\mathbf{r} \times \frac{d}{dt} m\mathbf{v} = \frac{d}{dt} (\mathbf{r} \times m\mathbf{v}) = \frac{d}{dt} (\mathbf{r} \times \mathbf{P}) = \frac{d}{dt} \mathbf{H}$$

$$\Sigma \mathbf{M} = \frac{d}{dt} \mathbf{H}$$

H 称为动量矩(moment of momentum)

动量矩平衡方程

$$\left\{ \begin{array}{l} \text{作用在控制体} \\ \text{的合力矩} \end{array} \right\} = \left\{ \begin{array}{l} \text{流出控制体的} \\ \text{动量矩变化率} \end{array} \right\} - \left\{ \begin{array}{l} \text{流入控制体的} \\ \text{动量矩变化率} \end{array} \right\} + \left\{ \begin{array}{l} \text{控制体的} \\ \text{动量矩增长率} \end{array} \right\}$$

控制体的动量矩
平衡方程

$$\Sigma \mathbf{M} = \iint_{\text{c.s.}} (\mathbf{r} \times \mathbf{v}) \rho (\mathbf{v} \cdot \mathbf{n}) dA + \frac{\partial}{\partial t} \iiint_{\text{c.v.}} (\mathbf{r} \times \mathbf{v}) \rho dV$$

$$\Sigma M_x = \iint_{\text{c.s.}} (\mathbf{r} \times \mathbf{v})_x \rho (\mathbf{v} \cdot \mathbf{n}) dA + \frac{\partial}{\partial t} \iiint_{\text{c.v.}} (\mathbf{r} \times \mathbf{v})_x \rho dV$$

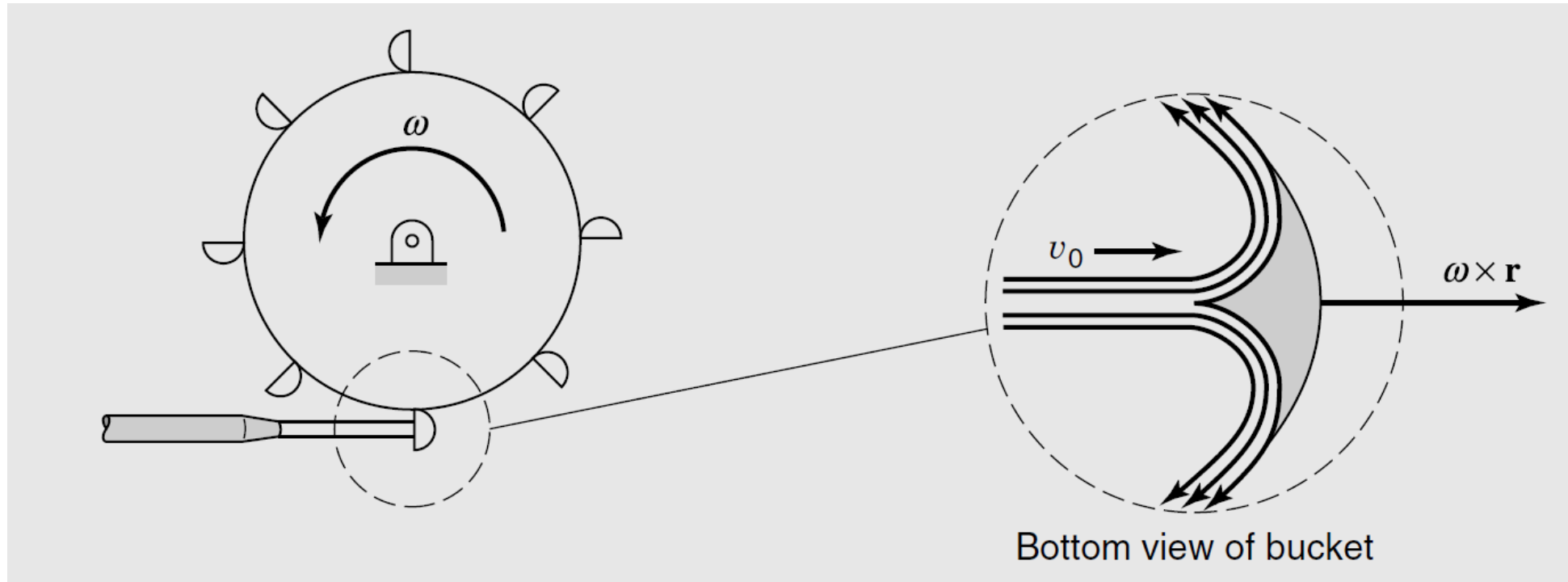
分量表达式

$$\Sigma M_y = \iint_{\text{c.s.}} (\mathbf{r} \times \mathbf{v})_y \rho (\mathbf{v} \cdot \mathbf{n}) dA + \frac{\partial}{\partial t} \iiint_{\text{c.v.}} (\mathbf{r} \times \mathbf{v})_y \rho dV$$

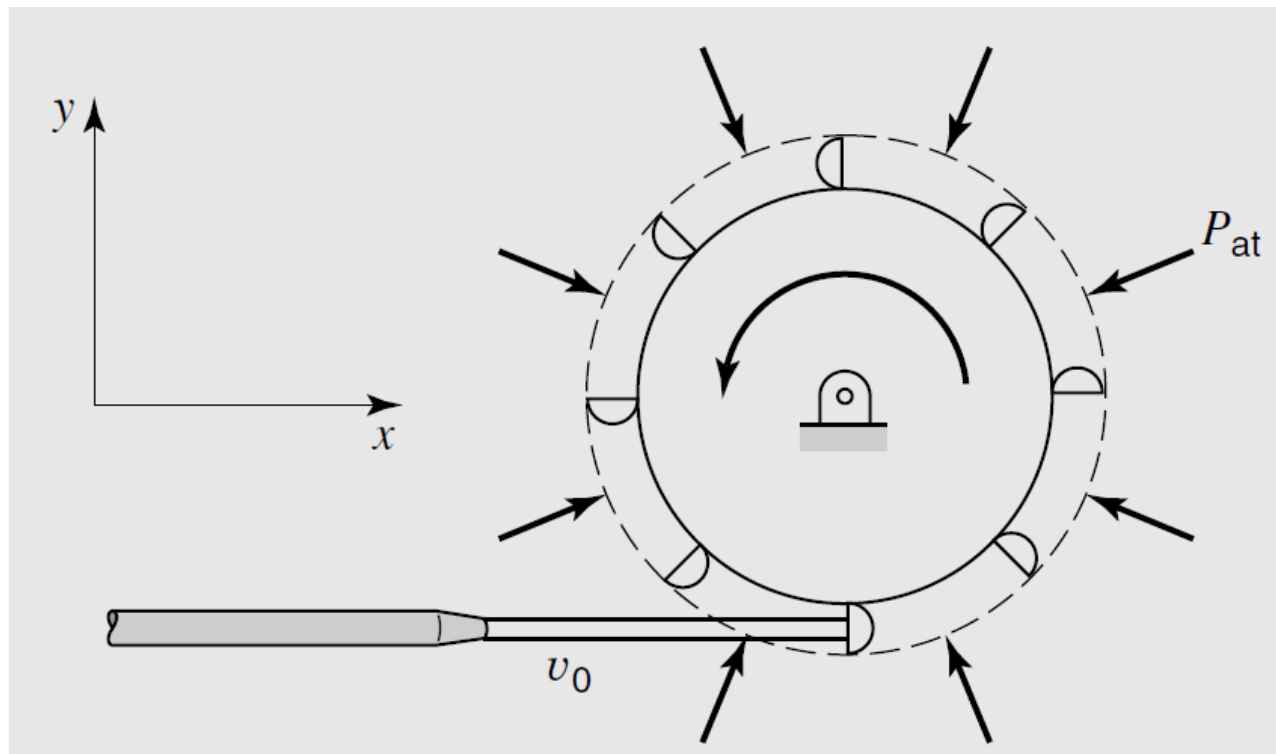
$$\Sigma M_z = \iint_{\text{c.s.}} (\mathbf{r} \times \mathbf{v})_z \rho (\mathbf{v} \cdot \mathbf{n}) dA + \frac{\partial}{\partial t} \iiint_{\text{c.v.}} (\mathbf{r} \times \mathbf{v})_z \rho dV$$

对于泵和涡轮的应用

例7：求水斗式水轮机作用到转轴上的力矩



控制体选取



$$\Sigma M_z = \iint_{\text{c.s.}} (\mathbf{r} \times \mathbf{v})_z \rho (\mathbf{v} \cdot \mathbf{n}) dA + \frac{\partial}{\partial t} \iiint_{\text{c.v.}} \rho (\mathbf{r} \times \mathbf{v})_z dV$$

唯一的外部力矩

$$\Sigma \mathbf{M}_z = M_{\text{shaft}}$$

$$\frac{\partial}{\partial t} \iiint_{\text{c.v.}} \rho (\mathbf{r} \times \mathbf{v})_z dV = 0$$

求表面积分 $\iint_{\text{c.s.}} (\mathbf{r} \times \mathbf{v})_z \rho (\mathbf{v} \cdot \mathbf{n}) dA$

流体离开控制体的 x 方向速度分量

$$\{r\omega - (v_0 - r\omega) \cos \theta\} \mathbf{e}_x$$

代入表面积分，有

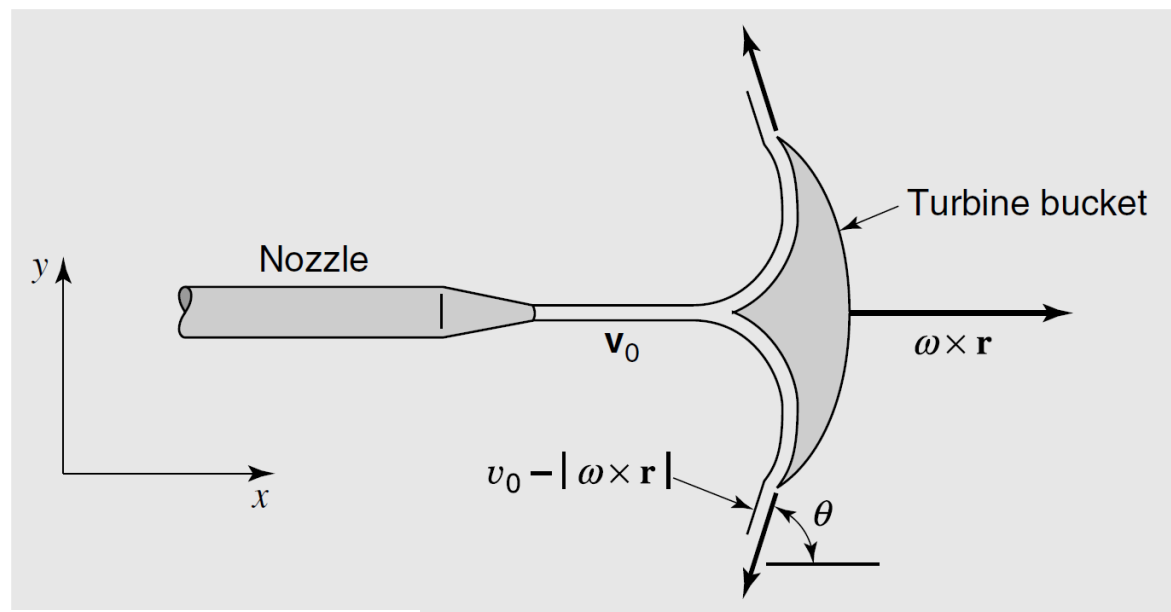
$$\iint_{\text{c.s.}} (\mathbf{r} \times \mathbf{v})_z \rho (\mathbf{v} \cdot \mathbf{n}) dA = r[r\omega - (v_0 - r\omega) \cos \theta] \rho Q - rv_0 \rho Q$$

最后得 $\Sigma M_z = M_{\text{shaft}} = \iint_{\text{c.s.}} (\mathbf{r} \times \mathbf{v})_z \rho (\mathbf{v} \cdot \mathbf{n}) dA + \frac{\partial}{\partial t} \iiint_{\text{c.v.}} \rho (\mathbf{r} \times \mathbf{v})_z dV$

$$= r[r\omega - (v_0 - r\omega) \cos \theta] \rho Q - rv_0 \rho Q = -r(v_0 - r\omega)(1 + \cos \theta) \rho Q$$

由此，作用到转轴上的力矩

$$\text{Torque} = -M_{\text{shaft}} = r(v_0 - r\omega)(1 + \cos \theta) \rho Q$$



4. 能量守恒

$$\left\{ \begin{array}{l} \text{rate of addition} \\ \text{of heat to control} \\ \text{volume from} \\ \text{its surroundings} \end{array} \right\} - \left\{ \begin{array}{l} \text{rate of work done} \\ \text{by control volume} \\ \text{on its surroundings} \end{array} \right\} = \left\{ \begin{array}{l} \text{rate of energy} \\ \text{out of control} \\ \text{volume due to} \\ \text{fluid flow} \end{array} \right\} - \left\{ \begin{array}{l} \text{rate of energy into} \\ \text{control volume due} \\ \text{to fluid flow} \end{array} \right\} + \left\{ \begin{array}{l} \text{rate of accumulation} \\ \text{of energy within} \\ \text{control volume} \end{array} \right\}$$

$$\left\{ \begin{array}{l} \text{外界传入控制体的} \\ \text{热流率} \end{array} \right\} - \left\{ \begin{array}{l} \text{控制体对外界} \\ \text{的做功率} \end{array} \right\} = \left\{ \begin{array}{l} \text{流出控制体的} \\ \text{能量变化率} \end{array} \right\}$$

$$- \left\{ \begin{array}{l} \text{流入控制体的} \\ \text{能量变化率} \end{array} \right\} + \left\{ \begin{array}{l} \text{控制体的} \\ \text{能量增长率} \end{array} \right\}$$

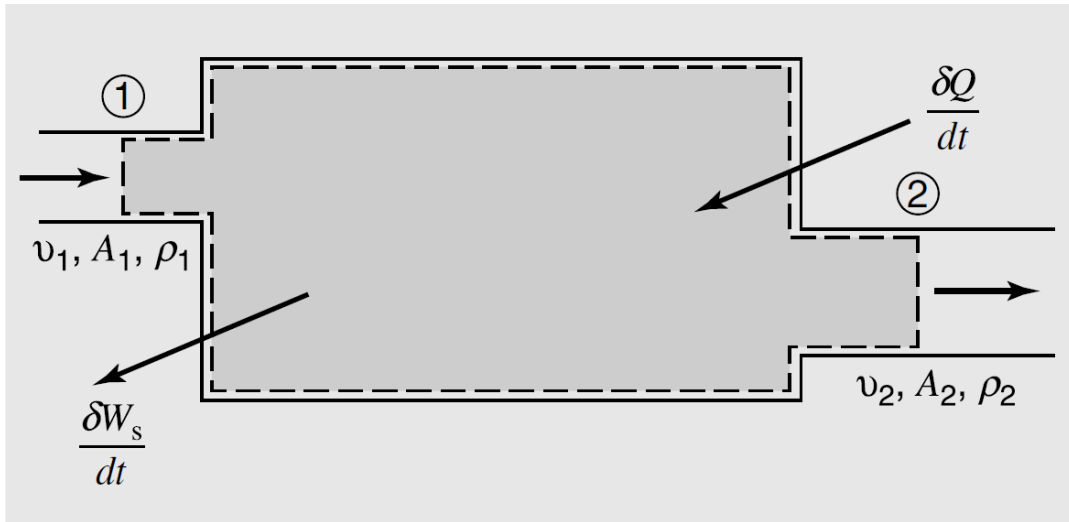
$$\frac{\delta Q}{dt} - \frac{\delta W_s}{dt} = \iint_{\text{c.s.}} \left(e + \frac{P}{\rho} \right) \rho (\mathbf{v} \cdot \mathbf{n}) dA + \frac{\partial}{\partial t} \iiint_{\text{c.v.}} e \rho dv + \frac{\delta W_\mu}{dt} \quad \text{能量守恒}$$

$$\text{总能 } e = gy + \frac{v^2}{2} + u \quad \text{势能+动能+内能}$$

$$\Sigma \mathbf{F} = \iint_{\text{c.s.}} \mathbf{v} \rho (\mathbf{v} \cdot \mathbf{n}) dA + \frac{\partial}{\partial t} \iiint_{\text{c.v.}} \rho \mathbf{v} dV \quad \text{动量守恒}$$

$$\iint_{\text{c.s.}} \rho (\mathbf{v} \cdot \mathbf{n}) dA + \frac{\partial}{\partial t} \iiint_{\text{c.v.}} \rho dV = 0 \quad \text{质量守恒}$$

例8



稳态流动、无摩擦损失

$$\frac{\delta Q}{dt} - \frac{\delta W_s}{dt} = \iint_{\text{c.s.}} \rho \left(e + \frac{P}{\rho} \right) (\mathbf{v} \cdot \mathbf{n}) dA + \frac{\partial}{\partial t} \iiint_{\text{c.v.}} \rho dV + \frac{\delta W_\mu}{dt}$$

\swarrow 0-steady flow \searrow 0

$$e + \frac{P}{\rho} = gy + \frac{v^2}{2} + u + \frac{P}{\rho}$$

$$\iint_{\text{c.s.}} \rho \left(e + \frac{P}{\rho} \right) (\mathbf{v} \cdot \mathbf{n}) dA = \left[\frac{v_2^2}{2} + gy_2 + u_2 + \frac{P_2}{\rho_2} \right] (\rho_2 v_2 A_2) - \left[\frac{v_1^2}{2} + gy_1 + u_1 + \frac{P_1}{\rho_1} \right] (\rho_1 v_1 A_1)$$

$$\frac{\delta Q}{dt} - \frac{\delta W_s}{dt} = \left[\frac{v_2^2}{2} + gy_2 + u_2 + \frac{P_2}{\rho_2} \right] (\rho_2 v_2 A_2) - \left[\frac{v_1^2}{2} + gy_1 + u_1 + \frac{P_1}{\rho_1} \right] (\rho_1 v_1 A_1)$$

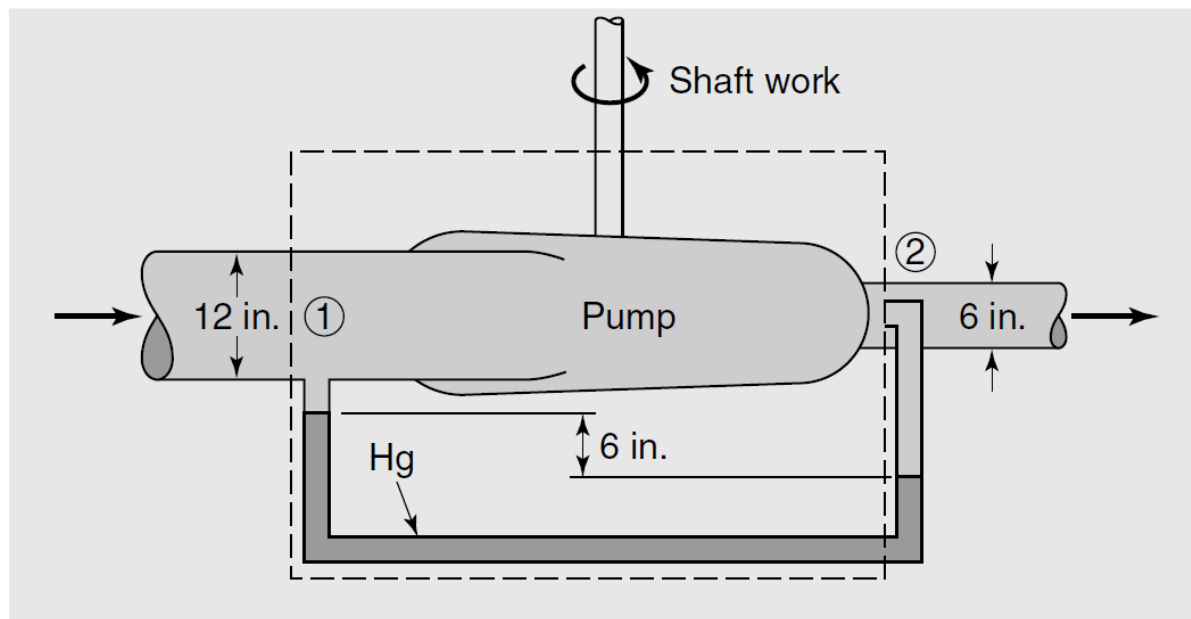
稳态流动，有 $\dot{m} = \rho_1 v_1 A_1 = \rho_2 v_2 A_2$

最终得到
$$\frac{q - \dot{W}_s}{\dot{m}} = \left[\frac{v_2^2}{2} + gy_2 + u_2 + \frac{P_2}{\rho_2} \right] - \left[\frac{v_1^2}{2} + gy_1 + u_1 + \frac{P_1}{\rho_1} \right]$$

或者另一种形式
$$\frac{v_1^2}{2} + gy_1 + h_1 + \frac{q}{\dot{m}} = \frac{v_2^2}{2} + gy_2 + h_2 + \frac{\dot{W}_s}{\dot{m}}$$

物理解释

例9：泵的做功

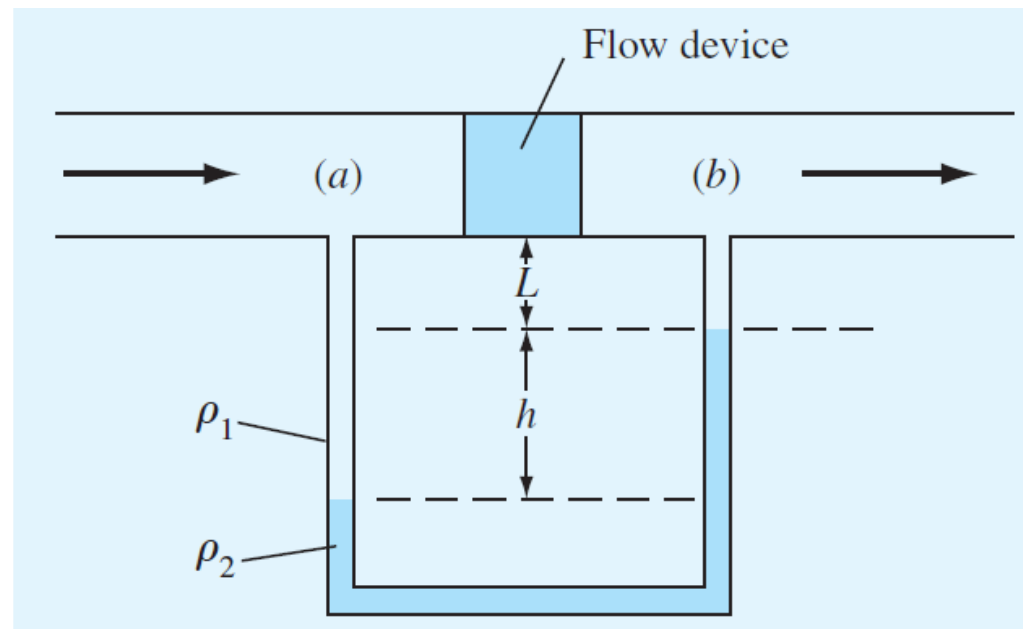


泵的输出功率为 3 马力 (horsepower, hp)
求质量流量

压强测量位置的不同

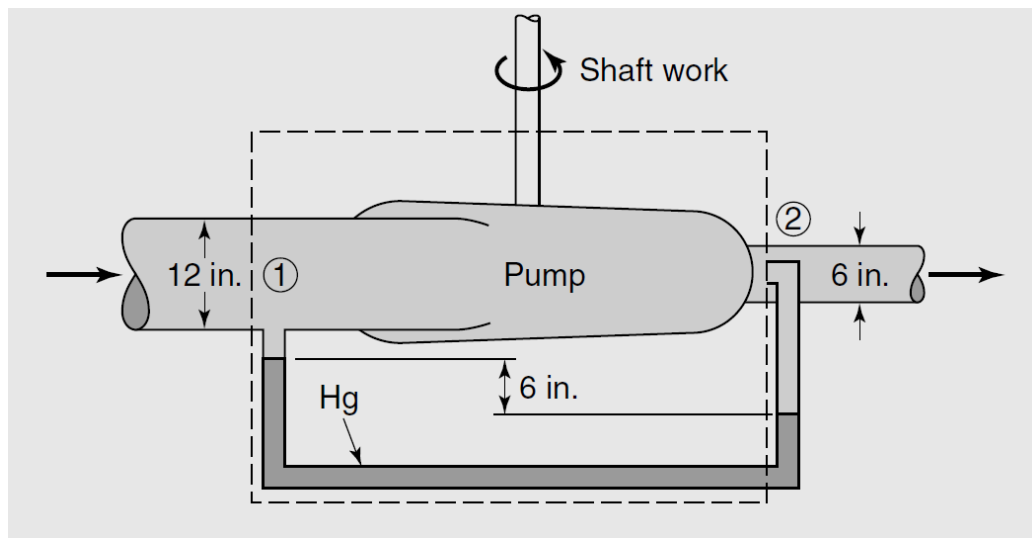
1. 静压

2. 总压 $P_{\text{stagnation}} = P_0 = P_{\text{static}} + \frac{1}{2} \rho v^2$ $P_{02} = P_2 + \frac{1}{2} \rho v_2^2$



$$p_a + \rho_1 g L + \rho_1 g h - \rho_2 g h - \rho_1 g L = p_b$$

$$p_a - p_b = (\rho_2 - \rho_1) g h$$



1. 在边界①、② 积分

$$\begin{aligned} \iint_{\text{c.s.}} \left(e + \frac{P}{\rho} \right) \rho (\mathbf{v} \cdot \mathbf{n}) dA &= \iint_{A_2} \left(e + \frac{P}{\rho} \right) \rho (\mathbf{v} \cdot \mathbf{n}) dA - \iint_{A_1} \left(e + \frac{P}{\rho} \right) \rho (\mathbf{v} \cdot \mathbf{n}) dA \\ &= \left(\frac{v_2^2}{2} + gy_2 + u_2 + \frac{P_2}{\rho_2} \right) (\rho_2 v_2 A_2) - \left(\frac{v_1^2}{2} + gy_1 + u_1 + \frac{P_1}{\rho_1} \right) (\rho_1 v_1 A_1) \\ &= \left[\frac{v_2^2 - v_1^2}{2} + g(y_2 - y_1) + (u_2 - u_1) + \frac{P_2}{\rho_2} - \frac{P_1}{\rho_1} \right] (\rho_1 v_1 A_1) \end{aligned}$$

2. 代入压强差

$$P_{02} = P_2 + \frac{1}{2} \rho v_2^2$$

$$\begin{aligned} \iint_{\text{c.s.}} \left(e + \frac{P}{\rho} \right) \rho (\mathbf{v} \cdot \mathbf{n}) dA &= \left(\frac{P_{02} - P_1}{\rho} - \frac{v_1^2}{2} \right) (\rho_1 v_1 A_1) \\ &= \left(\frac{(\rho_m - \rho) g \Delta h}{\rho} - \frac{v_1^2}{2} \right) (\rho v_1 \pi \times 3 \times 3 \times 0.0254 \times 0.0254) \\ &= -\frac{\delta W_S}{dt} = 3 \text{ hp} = 3 \times 745.7 \text{ W} \end{aligned}$$

3. 求解方程，得

$$\begin{aligned} v_1 &\approx 5.06 \text{ m/s} \\ \dot{m} &= \rho v_1 A_1 \approx 370 \text{ kg/s} \end{aligned}$$

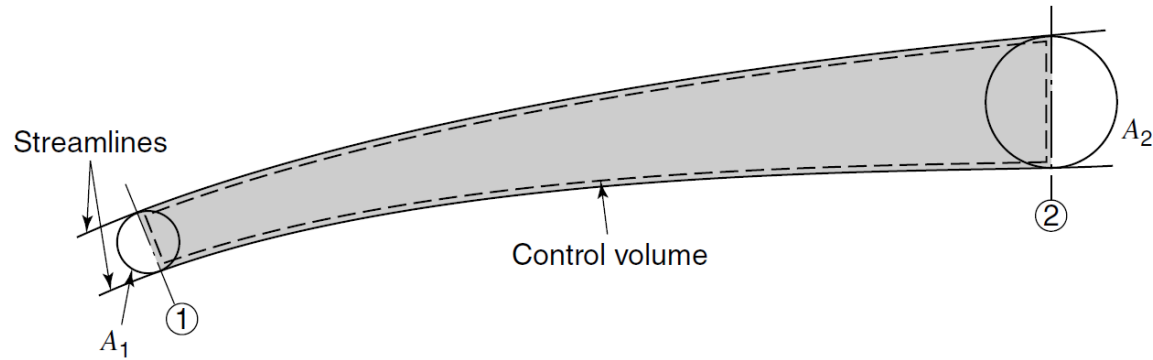
英制单位计算

$$\frac{\delta Q}{dt} = 0$$

$$\begin{aligned} -\frac{\delta W_s}{dt} &= (3 \text{ hp})(2545 \text{ Btu/hp} \cdot \text{h})(778 \text{ ft} \cdot \text{lb}_f/\text{Btu})(\text{h}/3600 \text{ s}) \\ &= 1650 \text{ ft} \cdot \text{lb}_f/\text{s} \end{aligned}$$

$$\begin{aligned} \iint_{\text{c.s.}} \left(e + \frac{P}{\rho} \right) \rho(\mathbf{v} \cdot \mathbf{n}) dA &= \left(\frac{P_{02} - P_1}{\rho} - \frac{v_1^2}{2} \right) (\rho v A) \\ &= \left\{ \frac{6(1 - 1/13.6) \text{ in. Hg}(14.7 \text{ lb}/\text{in.}^2)(144 \text{ in.}^2/\text{ft}^2)}{(62.4 \text{ lb}_m/\text{ft}^3)(29.92 \text{ in. Hg})} \right. \\ &\quad \left. - \frac{v_1^2}{64.4(\text{lb}_m \text{ft}/\text{s}^2 \text{lb}_f)} \right\} \{ (62.4 \text{ lb}_m/\text{ft}^3)(v_1)(\pi/4 \text{ ft}^2) \} \\ &= \left(6.30 - \frac{v_1^2}{64.4} \right) (49 v_1) \text{ ft} \cdot \text{lb}_f/\text{s} \end{aligned}$$

伯努利方程 (Bernoulli Equation)



$$\frac{\delta Q}{dt} = 0 \quad \frac{\delta W_s}{dt} = 0 \quad \frac{\partial}{\partial t} \iiint_{\text{c.v.}} e \rho dv = 0$$

稳态、不可压缩、无黏、等温流动的控制体

$$\begin{aligned} \iint_{\text{c.s.}} \rho \left(e + \frac{P}{\rho} \right) (\mathbf{v} \cdot \mathbf{n}) dA &= \iint_{A_1} \rho \left(e + \frac{P}{\rho} \right) (\mathbf{v} \cdot \mathbf{n}) dA = \left(gy_1 + \frac{v_1^2}{2} + \frac{P_1}{\rho_1} \right) (-\rho_1 v_1 A_1) \\ &+ \iint_{A_2} \rho \left(e + \frac{P}{\rho} \right) (\mathbf{v} \cdot \mathbf{n}) dA + \left(gy_2 + \frac{v_2^2}{2} + \frac{P_2}{\rho_2} \right) (-\rho_2 v_2 A_2) \end{aligned}$$

$$0 = \left(gy_2 + \frac{v_2^2}{2} + \frac{P_2}{\rho} \right) (\rho v_2 A_2) - \left(gy_1 + \frac{v_1^2}{2} + \frac{P_1}{\rho_1} \right) (\rho v_1 A_1) \quad \rho_1 v_1 A_1 = \rho_2 v_2 A_2$$

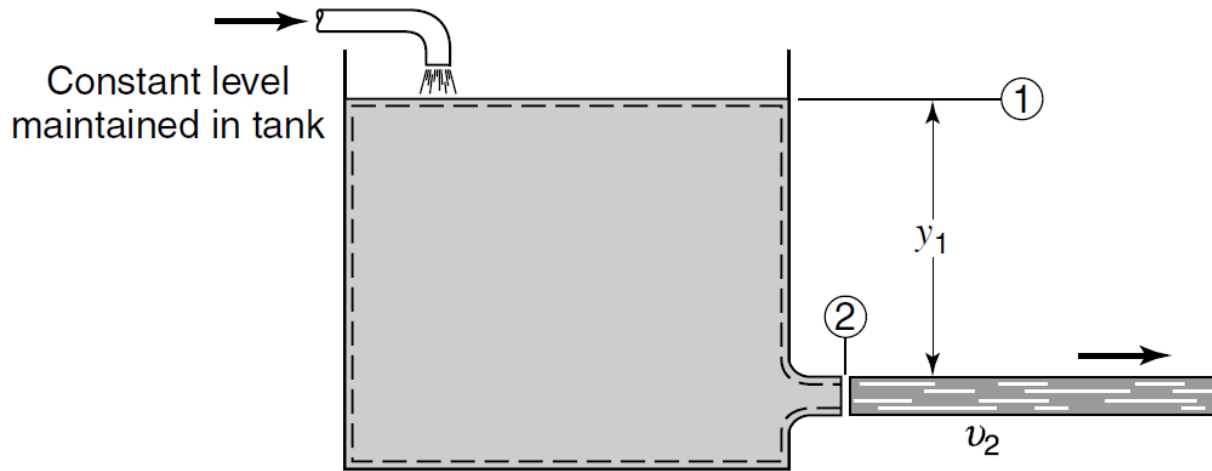
$$gy_1 + \frac{v_1^2}{2} + \frac{P_1}{\rho} = gy_2 + \frac{v_2^2}{2} + \frac{P_2}{\rho}$$

或两边除以g, 得

$$y_1 + \frac{v_1^2}{2g} + \frac{P_1}{\rho g} = y_2 + \frac{v_2^2}{2g} + \frac{P_2}{\rho g}$$

具有长度量纲 **xx头 (xx head)**

例10：容器下部出水速度



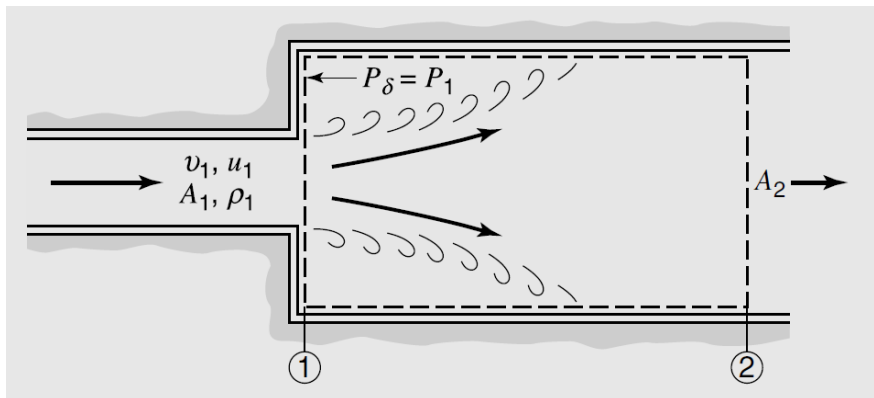
水面面积大，近似为高度不下降，近似无速度

$$y_1 + \frac{P_{\text{atm}}}{\rho g} = \frac{v_2^2}{2g} + \frac{P_{\text{atm}}}{\rho g}$$

$$v_2 = \sqrt{2gy}$$

托利拆里方程 (Torricelli's equation)

例11 三大定律的综合应用



稳态、不可压缩流动，忽略壁面剪切力

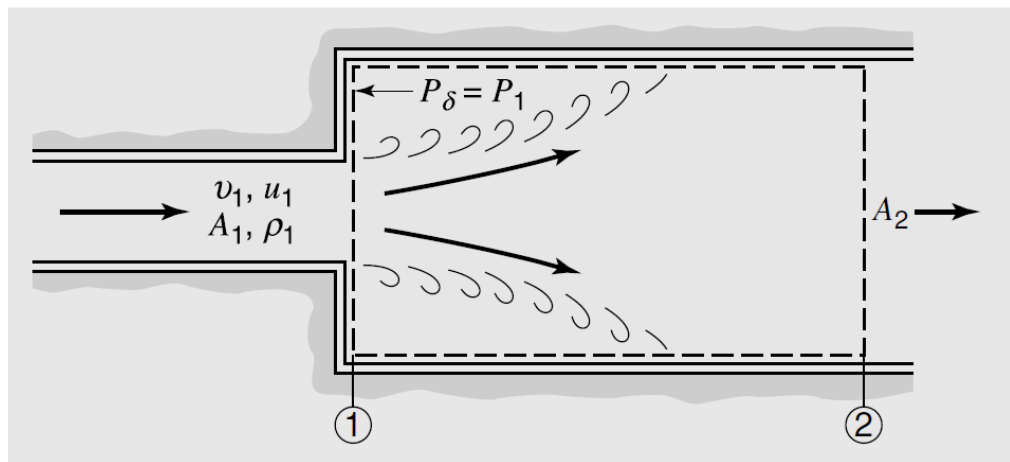
求内能变化 $u_2 - u_1$

质量守恒 $\iint_{c.s.} \rho(\mathbf{v} \cdot \mathbf{n})dA + \frac{\partial}{\partial t} \iiint_{c.v.} \rho dV = 0$

动量守恒 $\Sigma \mathbf{F} = \iint_{c.s.} \mathbf{v} \rho(\mathbf{v} \cdot \mathbf{n})dA + \frac{\partial}{\partial t} \iiint_{c.v.} \rho \mathbf{v} dV$

能量守恒 $\frac{\delta Q}{dt} - \frac{\delta W_s}{dt} = \iint_{c.s.} \left(e + \frac{P}{\rho} \right) \rho(\mathbf{v} \cdot \mathbf{n})dA + \frac{\partial}{\partial t} \iiint_{c.v.} e \rho dv + \frac{\delta W_\mu}{dt}$

例11 三大定律的综合应用



质量守恒 $\rho_1 v_1 A_1 = \rho_2 v_2 A_2 \quad v_2 = v_1 \frac{A_1}{A_2} \quad (1)$

动量守恒 $P_1 A_2 - P_2 A_2 = \rho v_2^2 A_2 - \rho v_1^2 A_1$

$$\frac{P_1 - P_2}{\rho} = v_2^2 - v_1^2 \left(\frac{A_1}{A_2} \right) \quad (2)$$

能量守恒 $\left(e_1 + \frac{P_1}{\rho} \right) (\rho v_1 A_1) = \left(e_2 + \frac{P_2}{\rho} \right) (\rho v_2 A_2)$

$$e_1 + \frac{P_1}{\rho} = e_2 + \frac{P_2}{\rho}$$

$$e = \frac{v^2}{2} + gy + u \quad \frac{v_1^2}{2} + gy_1 + u_1 + \frac{P_1}{\rho} = \frac{v_2^2}{2} + gy_2 + u_2 + \frac{P_2}{\rho}$$

$$u_2 - u_1 = \frac{P_1 - P_2}{\rho} + \frac{v_1^2 - v_2^2}{2} + g(y_1 - y_2)$$

$$\begin{aligned} u_2 - u_1 &= v_1^2 \left(\frac{A_1}{A_2} \right)^2 - v_1^2 \frac{A_1}{A_2} + \frac{v_1^2}{2} - \frac{v_1^2}{2} \left(\frac{A_1}{A_2} \right)^2 \\ &= \frac{v_1^2}{2} \left[1 - 2 \frac{A_1}{A_2} + \left(\frac{A_1}{A_2} \right)^2 \right] = \frac{v_1^2}{2} \left[1 - \frac{A_1}{A_2} \right]^2 \end{aligned}$$

$$\underline{\frac{v_1^2}{2} + gy_1} + \underline{u_1} + \underline{\frac{P_1}{\rho}} = \underline{\frac{v_2^2}{2} + gy_2} + \underline{u_2} + \underline{\frac{P_2}{\rho}}$$

变化成伯努利方程的形式，有

$$\frac{P_1}{\rho g} + \frac{v_1^2}{2g} + y_1 = h_L + \frac{P_2}{\rho g} + \frac{v_2^2}{2g} + y_2$$

$H_L = u_2 - u_1$ 称为水头损失 (head loss)

思考：为何多出来额外损失？

- 掌握控制体概念
- 三个守恒定律的概念，方程，不同表达形式
- 具体问题，需要从每一项概念出发
- 对解决问题，要有充分信心

课后作业



4.14、5.10、5.32、6.7